

04

2003

SÃO PAULO

Mestre em Engenharia.  
obteve o título de  
vereador de São Paulo para  
Escola Politécnica da Uni-  
Dissertação apresentada à

*TanDEM.*

Hidrodinâmica entre Corpos: FPSOs em Configuração  
Técnicas Variacionais Aplicadas ao Problema de Interagão

José Vicente Sparano

Prof. Dr. J. A. P. Araujo

Orientador:

Oceântica

Engenharia Naval e

Área de Concentração:

de Mestre em Engenharia.

para obtenção do título

Universidade de São Paulo

à Escola Politécnica da

Dissertação apresentada

## EM CONSTRUÇÃO TANDEM.

HIDRODINÂMICA ENTRE CORPOS: FPSOS

PROBLEMA DE INTERAÇÃO

TÉCNICAS VARIACIONAIS APLICADAS AO

JOSÉ VICENTE SPARANO

*Para M.S.*

*DEDICATÓRIA*

*trabalho...*

indiretamente, contribuiram para a realização desse

A todos aquelas que de alguma maneira, direta ou

*aguentarem todos os dias.*

recentemente, Karine Alves e Tiago Brauim, por me

Dr. André Fujarra, Dr. Eduardo Tannuri, e, mais

Aos amigos de sala Prof. Dr. Alexandre Simões, Prof.

*tudo começo.*

Ao prof. Dr. Mardel Bonfiglianni de Conti, com quem

*Aranha,* por acreditar em mim.

Ao meu orientador, Prof. Dr. José Augusto Pentead

*professores e funcionários.*

Escola Politécnica da Universidade de São Paulo, seus

Ao Departamento de Engenharia Naval e Oceânica da

*financiamento a esse projeto.*

A Agência Nacional de Petróleo, pelo suporte

## AGRADECIMENTOS

...muito obrigado.

A

Sumário	
Lista de Figuras	vi
Lista de Tabelas	vii
Introdução	1-1
Revisão Bibliográfica	2-1
A Lagergiana do Sistema	3-1
O Princípio Variacional	4-1
Caracterização Variacional de $\int_S \ \nabla \Phi\ ^2$	4-2
Dedução dos termos de $W_a$ e $W^a$	4-4
Validação Numérica	5-1
Impacto da Interagão na Dinâmica do Sistema	6-1
Conclusões e Sugestões de Trabalhos Futuros	7-1
Bibliografia	7-4
A.1 Dedução das expressões do Capítulo 5	A-1
B.1 Dedução das expressões do Capítulo 6	B-1
B.1.1 Termos Gerais	B-4
B.1.2 Termos Específicos	B-7

1.1	Navios em tandem . . . . .	1-2
5.1	Duas esferas rigidamente ligadas . . . . .	5-1
5.2	Massa Adicional de Surge - $a^* = \frac{a\alpha}{d}$ ; $d^* = \frac{a\alpha}{d}$	5-4
5.3	Massa Adicional de Heave - $a^* = \frac{a\beta}{d}$ ; $d^* = \frac{a\alpha}{d}$	5-5
5.4	América Adicional de Pitch - $ton \cdot m^2 \cdot a^* = \frac{a\alpha}{d}$ ; $d^* = \frac{a\alpha}{d}$	5-6
5.5	América Adicional de Sway-Yaw - $ton \cdot m^2 \cdot a^* = \frac{a\alpha}{d}$ ; $d^* = \frac{a\alpha}{d}$	5-7
6.1	Navios em "tandem" . . . . .	6-1
6.2	Estabilidade do sistema tandem sem interação . . . . .	6-6
6.3	Fórga de Interagão Interacial de Surge / Fórga Potencial de Surge (%) - Lício da operação de offloading . . . . .	6-8
6.4	Fórga de Interagão Interacial de Surge / Fórga Potencial de Surge (%) - Final da operação de offloading . . . . .	6-10

## Lista de Figuras

## Listas de Tabelas

- 6.1 Navios que compõem o sistema tandem da simulação . . . . . 6-5

## Lista de Símbolos

$A_{ij}$	Coeficientes de massa adicional do corpo.
$a_\alpha$	Comprimimento do hauser.
$a_*$	Raio da esfera.
$a_\beta = \frac{a_\alpha}{a_\beta}$	
$A_{ab}$	Matriz de interação entre os corpos $a$ e $b$ .
$F_x^a$	Força de surge devido à correnteza.
$F_y^a$	Força de surge devido à correnteza.
$F_z^a$	Força de devido à correnteza.
$g$	Função genética que define uma certa condição de controlo.
$G_{ab}$	Vida equagão 4.24.
$H^x$	Força do hauser na direção de surge.
$H^y$	Força do hauser na direção de sway.
$H^z$	Força do hauser na direção de yaw.
$I$	Tensão de inércia do corpo com respeito ao referencial local $K$ .
$\mathbb{I}$	Matriz identidade.
$K$	Sistema de referência tri-ortogonal local.
$K$	Sistema de referência tri-ortogonal global.
$l$	Distância entre centros das esferas.
$L_1$	Comprimimento do FPSO.
$m$	Massa do corpo.

$M_{11}$	Massa adicional de <i>surge</i> das esferas.	$M_{22}$	Massa adicional de <i>sway</i> das esferas.	$M_{33}$	Massa adicional de <i>heave</i> das esferas.	$M_{44}$	Inércia adicional do acoplamento <i>heave-pitch</i> das esferas.	$M_{55}$	Inércia adicional de <i>pitch</i> das esferas.	$M_{66}$	Inércia adicional de <i>yaw</i> das esferas.	$N^z$	Velocidade normal ao corpo e que aponta para fora dele.	$P_{ab}$	Matriz que projeta qualquer vetor de $\mathbb{K}$ em um versor com a mesma direção de $F^a_g$ .	$Q^i$	Força generalizada correspondente a $s^i$ .	$R_x$	Força de amarração na direção de <i>surge</i> .	$R_y$	Força de amarração na direção de <i>sway</i> .	$R_z$	Força de amarração na direção de <i>yaw</i> .	$R^a$	Vetor posição do corpo a em relação a $\mathbb{K}$ .	$R^g$	Distância entre os corpos a e $G$ .	$s^i$	Coordenada generalizada do corpo.	$T^x$	Matriz de atitude do corpo a em relação a $\mathbb{K}$ .	$T^y$	Transposta de $T^x$ .	$u$	Campo de velocidades do fluido.	$U$	Velocidade da correnteza.
----------	--	----------	---	----------	--	----------	--	----------	--	----------	--	-------	---	----------	---	-------	---	-------	---	-------	--	-------	---	-------	--	-------	-------------------------------------	-------	-----------------------------------	-------	--	-------	-----------------------	-----	---------------------------------	-----	---------------------------

$x_g$	Posição do centro de gravidade do corpo em relação a um referencial local.
$W^a$	Energia Cinética do sistema sólido + fluido.
$\vec{v}$	Vetor velocidade em relação ao referencial local $K$ .
$W^a_g$	Energia Cinética do corpo a.
$W^{ag}$	Energia Cinética de Interagão.
$x^a_g$	Posição do centro de gravidade do corpo em relação a um referencial local.
$X^a_{int}$	Fórga de interação de surge para o sistema tandem.
$Y^a_{int}$	Fórga de interação de sway para o sistema tandem.
$Z^a_{int}$	Momento de interação de yaw para o sistema tandem.
$a$	Leta gręga que representa cada corpo.
$\theta$	Erro na aproximação de $\Phi$ por $\theta$ .
$\eta$	Volume do corpo.
$Q_n$	Superfície do corpo.
$\varrho$	Ero na aproximação de $\Phi$ por $\varrho$ .
$\eta$	Volume do corpo.
$\theta$	Aproximação para $\Phi$ .
$\chi^a$	Coeficiente de dipolo da expansão multipolo de $\phi^a$ .
$\chi^a$	Matriz $3 \times 6$ formadas pelos vetores $\chi^a$ .
$\zeta$	Centro geométrico do volume do corpo.
$p$	Densidade da água.
$\phi^a$	Função potencial para cada corpo a.
$\Phi$	Função Potencial.
$\omega$	Velocidade angular em relação ao referencial local $K$ .
$\Delta$	Operador Divergente.
$\nabla^2$	Operador Laplaciano.

A indústria offshore ceda vez mais opera com embarcações umas proximas as outras, de modo que a interação hidrodinâmica entre elas desempenha um papel importante na nova dinâmica do sistema acoplado. Esta interação se reflete nas forças viscosas e intercâmbios de fluidos entre os navios. Considerando o problema de movimento em um meio infinito de fluido ideal (inviscid e irrotacional), técnicas variacionais foram utilizadas para obterem uma função Lagrangeana explicita cujo termo de interação depende apenas das massas adicionais dos corpos isolados.

No que tange às forças imerciais, considerando o problema de vários corpos se movendo em um meio infinito de fluido ideal (inviscid e irrotacional), técnicas expressões encontradas foram validadas com o auxílio do software WAMIT® e depois aplicadas, via Equações de Lagrange, no cálculo das forças de interação para dois navios em tandem, incorporados a um modelo de forças de correnteza e ondas (segunda ordem), simulados no *Simulink* do MATLAB®.

O impacto da interação hidrodinâmica na dinâmica do sistema tandem é na estabilidade do mesmo foi discutido baseado nos resultados obtidos das simulações numéricas.

## RESUMO

Offshore industry operations often involve more than one floating structure in close proximity to each other, in order that the hydrodynamic interaction play an important role in the feasibility of the operations. This interaction has been presented at both viscous and inertial forces which the bodies are submitted. Regarding the inertial forces, and considering the motion of many solids through an unbounded ideal liquid (inviscid and irrotational), variational techniques have been used to exhibit an explicit Lagrangian function whose interaction term is depends only on the added mass coefficients for each isolated body.

The expressions have been validated using the WAMIT® software and then applied, by Lagrange's Equations, to estimate forces and moments of two vessels in a tandem configuration, and, along with a current and second order wave force models, simulated in the MATLAB® Simulink.

The hydrodynamic impact upon the tandem system dynamics and stability was discussed based on the results of those numerical simulations.

## ABSTRACT

Operações offshore frequentemente envolvem mais de uma unidade futurante trabalhando próximas umas às outras. Transferências de equipamentos, muitas vezes pesados, ou suprimentos de uma unidade embarcada a outra são típicas, nessas casos há que se preocupper com o movimento relativo entre as estruturas, pois este desempenha um papel muito importante na viabilidade da operação e seu crescendo nos últimos anos, forçando a indústria offshore a buscar alternativas para suas plataformas, tipicamente SPARS, TLP's e semi-submersíveis, pois todas elas possuem capacidade restrita de armazenamento. Uma das opções para esse problema foi a conversão de antigas petroleiras, condendas pelas normas da IMO (*International Maritime Organization*), por não possuirrem duplo casco, em sistemas de produção de petróleo, os chamados FPSOs (*Float-In Production Storage and Offloading Systems*). Dessa forma, o óleo é ar-mazenado nos próprios tanques da embarcação, e a transferência desse óleo para a plataforma continental é feita por outra embarcação, o "navio Aliviador" (*shuttle tanker*), que se acopla ao FPSO em uma configuração denominada tandem - é a chamada operação de offloading do FPSO (Fig. 1.1), e é nesse caso que ocorre a interação hidrodinâmica entre as duas embarcações, pois a presença de uma afeta o comportamento da outra no mar.

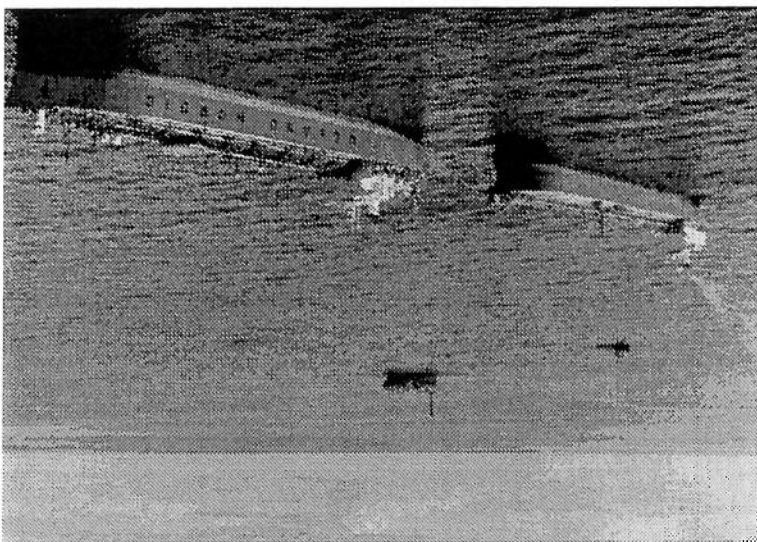
## Introdução

### Capítulo 1

que geram, por sua vez, forças de vento, correntezas e ondas (as duas primeiras em uma situação real, as embarcações estão sujeitas a condições ambientais dinâmica do sistema).

Em uma fundamental importância avaliar o impacto da interação hidrodinâmica na uma mudança significativa do comportamento do sistema no mar. Portanto, é as duas embarcações exerce papel muito importante, já que pode acarretar em com consequências desastrosas. Nesse caso, a interação hidrodinâmica entre ranga, pois caso isso não aconteça, o risco de haver algum acidente é maior, é desejável que estes movimentos permaneçam dentro de um limite de segurança, nos diversos subsistemas da planta de produção. E, na operação de offloading, todos os tanques da embarcação, além do conforto da tripulação que trabalha impõem que seus movimentos sejam limitados, pois resers com óleo estão conectados aos tanques da embarcação, além de conforto da tripulação que trabalha nos diversos subsistemas da planta de produção. E, na operação de offloading,

Figura 1.1: Navios em tandem.



Na configuração tandem, onde ocorre a interação hidrodinâmica, a pressença de outras embarcações altera os coeeficientes hidrodinâmicos de jorços de excitação, massas adicionais, amortecimento por radiação de ondas, wave drift, etc. Para esses casos, o procedimento atual é, com o auxílio do WAMIT®, compilar um banco de dados dos coeeficientes acima citados para cada configuração de aproamento de ambas as embarcações, comprimentos de huller, diregões e freqüências de onda, e que serviria de *input* para o simulador dinâmico.

tandem, que portanto receberam o nome de Fórgas Intercaias.

de natureza viscosa e a última de natureza Potencial). E, dentro das forças potenciais, há aquelas devido às interações das embarcações que compõe o sistema

O **Capítulo 6** concentra em si a aplicação proposta pelo trabalho: a influência validadas numericamente com o auxílio do WAMIT®.

As técnicas variacionais para exprimir a interação hidrodinâmica são apresentadas no **Capítulo 4**, resultando em expressões que serão, no **Capítulo 5**,

No **Capítulo 3** justifica-se a escolha, dentre os trabalhos apresentados no capítulo anterior, daquele que noteará esta pesquisa.

No **Capítulo 2** desto é apresentado um breve resumo entre corpos.

Dessa forma, no **Capítulo 2** desto é apresentado um breve resumo dos principais trabalhos publicados que concernem a interação hidrodinâmica

procedimento atual, justamente por ser analítico o método proposto por este analises é muito menor quando comparado àquele que seria gasto usando-se o presentes na dinâmica do problema, entretanto, o tempo requiredo para a inferial para o caso de navios em tandem é muito pedeuna face às outras formas Os resultados mostraram que a contribuição destas parcelas de interação descripto anteriormente.

• Entender e avaliar o impacto desta parcela de interação na dinâmica do sistema FPSO - Aliviador, inserindo-a no modelo Heurístico Estendido

não, por exemplo, o dos Paines usado pelo WAMIT®.

• Compreender a teoria por trás da contribuição referente às Forças Inerçiais no fenômeno de interação hidrodinâmica através de outro método, que

Assim, serão objetivos maiores:

Ragazzo [13].

Assim, no que tange às Forças Inerçiais, objeto de estudo desto texto, sugere-se uma abordagem para o problema da interação hidrodinâmica entre corpos baseada no uso das técnicas variacionais, partindo das ideias contidas em

horizontal, ou seja, são feitas simulações no *Simulink* do MATLAB® do sistema tandem para forças e momento de correnteza dados segundo Simos [14], adicionadas das parcelas de interação imerial, e apresentados os resultados dessas simulações.

Por fim, no último capítulo, o trabalho é concluído. São discutidos os pontos mais importantes e as principais conclusões obtidas durante o desenvolvimento da pesquisa. Algumas sugestões também são feitas para a continuidade do estudo de interação hidrodinâmica entre corpos.

estimar os efeitos de interação hidrodinâmica em ondas para dois casos: o de Fontes a partir de resultados para corpos isolados, realizou simulações visando *Diff University of Technology* e que utiliza aproximações sucessivas do Método Pierrick [12], com o auxílio do software DELLFRAC®, desenvolvido pela

solve o problema de difração/radiação de ondas pelo Método dos Painéis. Talvez hoje a referência comercial desse tipo de ferramenta de análise, que relevantes para os serviços de liberdade das embarcações, dentre elas o WAMIT®, diação/difração estão disponíveis comercialmente, formecendo as formas e oceanicos. Muitos software tridimensionais que resolvem o problema de rotina rotina na análise de comportamento no mar de sistemas da frequência) virão rotina na análise de escala potencial (domínio de embalações usando a teoria linear do escala potencial (domínio de natureza numérica, ou seja, através de software. A predição de movimentos de destas ferramentas no problema de interação hidrodinâmica tem sido enfoque destas ferramentas no problema de interação hidrodinâmica vez melhores para este fim. O a desenvolverem ferramentas de análise cada vez melhores para este fim. As tentativas de se quantificar os efeitos da interação impulsional pesquisadores como foi visto na **Introdução** desse texto.

Inveigágées a respeito da interação hidrodinâmica entre corpos comegaram a surgir nas últimas décadas, motivadas principalmente pela indústria offshore,

## Revisão Bibliográfica

### Capítulo 2

eficientes de interação, sob o ponto de vista de engenharia, torna-se uma tarefa quadrado do número de painéis), muitas vezes o trabalho para se obter tais coefficients de computacional para o problema de difração é proporcional ao geral, o tempo computacional aumenta no número de painéis (de maneira serem analisados e correspondente aumento no número de painéis (de maneira a ordem, e que, devendo a possíveis perdas de simetria - dependendo dos corpos a pelo tipo de malha usada, o mesmo não acontece para formas de segunda gasto, concluindo que, em primeiro lugar, massas adicioneis não são afetadas mas considerações a respeito da convergência numérica e tempo computacional a um valor da ordem de 10% para baixas freqüências. Outro também tecê alguma pequena, da ordem de 1% para os períodos típicos de espectro de mar, chegado a diferença entre os valores para o sistema acoplado e para os corpos isolados foi e comparando-os com aquelas para cada corpo isolado. Para massas adicioneis, distância de 10m, calculando os coeficientes hidrodinâmicos do sistema acoplado com o auxílio do WAMIT®, uma TLP acoplada a uma balsa, separadas por uma tados pela interação hidrodinâmica é confirmado por Teigen [18], que simulou, O mesmo fato de que formas e momento de segunda ordem são os mais afetados.

ordem.

hidrodinâmica é mais importante nas formas e momento de onda de segunda respektivos para os navios isolados, mas o autor conclui que a interação Não há comparação entre os resultados obtidos para o sistema acoplado e 50m.

onda, e o segundo com um ângulo de 10°, separados por uma distância de FPSO e o Aliviador tinha as mesmas dimensões, o primeiro situado com as sulados; e o segundo, dois navios em configuração tandem. Para este caso, o comparados com valores experimentais, com aderência excelente entre os resultados a massa adicional e o amortecimento potencial de surge, que formam primeiro, uma caixa retangular próxima a um cilindro, para o qual foram cal-

do vento, à medida que esta aumenta a amplitude do ciclo limite diminui para E, ainda para o movimento de yaw, agora entre tanto com respeito à velocidade limite; já o navio Alividator é instável tanto isolado quanto acoplado ao FPSO. Quando acoplado com o Alividator torna-se instável, apresentando um ciclo o movimento de yaw, que na presença de correntezas o FPSO isolado é estável sistema, a força no *hawser*, que o estabiliza. O autor também verifica, para que a presença de outra embarcação acoplada ao FPSO introduz uma força no barcações, Lee faz uma análise da estabilidade estática do sistema, concluindo A partir das equações linearizadas dos movimentos de surge, sway e yaw das ondas e correntezas.

Este último assunto, inclusive, foi discutido por Lee [6], que, utilizando-se de um método tridimensional de distribuição de singularidades, estuda o compor- tamento dinâmico do sistema FPSO-Alividator na presença de forças de vento, um resultado tridimensional de expressões de singularidades, estuda o compor-

ente corpos, e consequentemente a estabilidade do sistema tandem. Um modelo relativamente preciso e rápido para se quantificar essa interação que se feitas as necessárias incorporações à função Lagerängiana, pode-se chegar dos coeficientes de interação hidrodinâmica e muito menor, de modo tratar de expressões analíticas, é evidente que o tempo gasto para a obtenção massas adicionais dos corpos isolados e da posição relativa entre elas. Por se ciunal. O autor expressa uma função Lagerängiana que depende apenas das fluido infinito ideal (invicídio e irrotacional), partindo de um argumento variá- Por outro lado, Ragaazzo [13] considera o problema de multi-corpos em um

vergencia.

nos casos o tempo gasto é o mesmo, assim como a preocupação quanto a como são amenizados usando-se coordenadas generalizadas [8], mas na maioria ardua. Apesar para algumas configurações de sistemas acoplados esses proble-

Nozmente, não foi feita uma quantificação da interação hidrodinâmica entre os navios e dos seus efeitos na estabilidade do sistema, apesar de discussão das duas embarcações. Novamente, não foi feita uma quantificação da interação hidrodinâmica entre os navios e dos seus efeitos na estabilidade do sistema, apesar de discussão das duas embarcações.

Assim, diante do panorama que as referências bibliográficas expõem, isto é, que as maiores contribuições para o efeito da interação hidrodinâmica são das peças de onda de segunda ordem pelas formas linearizadas (vento e correnteza), é de se esperar que a contribuição das formas lineares para o problema seja pequena, assim como seu impacto na dinâmica é, portanto, na estabilidade do sistema também. Por outro lado, o mesmo procedimento variacional, tanto o proposto por este texto como o de Aranha e Pescce [1] (desde que validado para o caso 3D) poderia, em tese, ser aplicado ao problema de atracção/radiação de ondas, em especial para as forças de segunda ordem (Deriva e Deriva Lenta), estas sim muito influenciadas pela presença de um segundo corpo, com a motivação de tentar recuperar os resultados de Piaskster [12] e Teigen [18].

<sup>1</sup>As contribuições fundamentais para esse assunto foram dadas por Kirchhoff, Thomson (Lord Kelvin) e Tait. O livro de Lamb [5] contém uma excelente apresentação desse tema.

No fato de que, a partir da mesma, é possível obter-se diretamente as equações de Lagrange para um sistema respeitando a dinâmica do sistema.

Mas a grande conveniência em trabalhar com a Lagrangeana do sistema reside no fato de que, a partir das equações diferenciais ordinárias para a dinâmica do sistema, é possível resolver aproximadamente o problema elíptico conseguindo um sistema de equações diferenciais ordinárias para a dinâmica do sistema.

Em apêndices poucas situações de geometria muito simples (todos os corpos são torques e torques são implicativamente dados por soluções de problemas elípticos. O problema em questão tem recentemente recebido renovação interessante em parte devido à sua significância para os estudos de escoramento bifásico ticular também devido à sua importância recém-renovada interessante em parte respeitando movimento de vários corpos fornecendo equações de movimento onde e movimentos de corpos submersos. A grande maioria dos trabalhos teóricos a e governada apenas por suas inéquias<sup>1</sup>.

Lagrangeana considerando sólidos e fluido como um único sistema cuja dinâmica fluido infinito e ideal (inviscid e irrotacional) é tratado de uma maneira Lagrangeana do sistema foi a proposta por Ragaazzo [3].

No capítulo anterior, dentre as alternativas encontradas na literatura para o estudo da interação hidrodinâmica entre corpos, a tática que fazia uso da Lagrangeana do sistema foi a proposta por Ragaazzo [3].

## A Lagrangeana do Sistema

### Capítulo 3

2. Condigöes éstas que implicam em  $\|\nabla\Phi\|$  ser de ordem 1/ $\|x\|^3$  para  $\|x\| \rightarrow \infty$

$$c_i = u_i \quad c_{(i+3)} = w_i \quad i = 1, 2, 3$$

de rotagão  $\omega$  podem ser expressas da seguinte maneira:

sóres ( $\hat{e}_1, \hat{e}_2, \hat{e}_3$ ), as componentes da velocidade de translagão  $\hat{v}$  e da velocidade

Em um sistema de referência inercial local  $K$  (ou seja, fixo ao corpo), de ver-

onde  $\eta$  é o volume do corpo.

$$W = \text{Energia Cinética do Corpo} + \frac{\rho}{2} \int_{\mathbb{R}^3 - \eta} \|\nabla\Phi\|^2$$

A Energia Cinética total do sistema sólido + fluido é dada por:

$$2. \nabla\Phi \rightarrow 0 \quad \|x\| \rightarrow \infty$$

$$1. \nabla\Phi \cdot \hat{n} = \hat{U} \cdot \hat{n}$$

ou seja:

2. O fluido está em repouso no infinito.

Figuras à velocidade normal destes pontos.

1. As componentes de  $\nabla\Phi$  normais aos pontos da superfície do corpo são

condigöes de controlo 2:

seja nulo,  $\Delta^2\Phi = 0$ , e, em adigão às duas equações acima, estao as seguintes

cada tempo t a incompressibilidade do fluido implica que o **Laplaciano** de  $\Phi$

a Teoria Potencial, o gradiente de uma função potencial  $\Phi$ ,  $\hat{u} = \nabla\Phi$ . Para

extremas agindo sobre o primeiro. O campo de velocidades  $\hat{u}$  do fluido é, segundo

do fluido é interioramente devido à sua interação com o sólido, i.e., não há forças

extremas agindo sobre o primeiro. O campo de velocidades  $\hat{u}$  do fluido é, segundo

imóvel é ideal de densidade  $\rho$  com velocidade  $\hat{U}$ , assumindo que o movimento

Para ilustrar este fato, considere um corpo se movimentando em um fluido

que regem o movimento do sistema, via **Equações de Lagrange**.

$$\frac{d}{dt} \frac{\partial s^i}{\partial \dot{q}} \mathbb{W} - \frac{\partial s^i}{\partial q} \mathbb{W} = \ddot{Q}^i$$

Finalmente, usando a Equação de Lagrange:

$$(3.4) \quad A_{ij} \overset{def}{=} \rho \int_{\mathbb{R}^3-m} \Phi \Delta^i \Phi \Delta^j$$

- $A_{ij}$  são os coeficientes de massa adicional do corpo definidos por
- $I$  é tensor de inércia do corpo com respeito ao referencial local  $K$
- $\bar{x}^G$  é a posição do centro de massa do corpo no referencial local  $K$
- $m$  é a massa do corpo

onde:

$$\mathbb{W} = \frac{1}{2} (m \|\bar{v}\|^2 + 2 \bar{m} \cdot (\bar{v} \times \bar{x}^G) + \bar{v} \cdot I \bar{v}) + \frac{1}{2} \sum_{i,j=1}^6 A_{ij} c_i c_j$$

sistema de referência local  $K$ :

chega-se à expressão final da Energia Cinética  $\mathbb{W}$  do sistema sólido + fluido no

$$(3.3) \quad \left. \begin{array}{ll} \Delta \phi^i(x) = 0, & \text{para } \|x\| \rightarrow \infty \\ \Delta^2 \phi^i(x) = 0, & \text{para } x \in \partial K \\ \Delta^2 \phi^i(x) = 0, & \text{para } x \in \mathbb{R}^3 - m \\ \Delta \phi^i(x) = \bar{c}_i \cdot \bar{n}(x), & \text{para } x \in \partial n \\ \Delta^2 \phi^i(x) = \bar{c}_i \times \bar{c}_{i-3}, & \text{para } x \in \partial n \end{array} \right\}$$

E para  $i = 4, 5, 6$  (roll, pitch e yaw, respectivamente):

$x \in \partial n$  que aponta para fora do corpo.

onde  $\partial n$  é a fronteira de  $n \in K$  corresponde ao vetor normal ao ponto

$$(3.2) \quad \left. \begin{array}{ll} \Delta^2 \phi^i(x) = 0, & \text{para } x \in \mathbb{R}^3 - m \\ \Delta \phi^i(x) = \bar{c}_i \cdot \bar{n}(x), & \text{para } x \in \partial n \\ \Delta^2 \phi^i(x) = \bar{c}_i \times \bar{c}_{i-3}, & \text{para } x \in \partial n \\ \Delta \phi^i(x) = 0, & \text{para } \|x\| \rightarrow \infty \end{array} \right\}$$

onde, para  $i = 1, 2, 3$  (surge, sway e heave, respectivamente):

$$(3.1) \quad \Phi = \sum_9^{i=1} c_i \phi^i(x); \quad x \in K$$

e, usando a seguinte decomposição de  $\Phi$ :

3Mesmo o "movimento livre" ( $\ddot{Q}_i = 0$ ) de um corpo com uma superfície suficientemente complexa chega-se a um sistema de equações diferenciais ordinárias não integrável.

$$A_{24}U_1 + A_{26}U_3 + A_{31}W_1 + A_{33}W_2 + A_{35}W_2 + A_{42}U_1W + A_{44}U_2 + A_{46}U_1U_3 + A_{51}U_2W +$$

$$+ [U_1 U_2 U_3] \cdot \begin{bmatrix} I_{44} & I_{45} & I_{46} \\ I_{54} & I_{55} & I_{56} \\ I_{64} & I_{65} & I_{66} \end{bmatrix} \begin{bmatrix} U_1 \\ U_2 \\ U_3 \end{bmatrix} + \frac{1}{2}[A_{11}U_2^2 + A_{13}W_1W_2 + A_{15}U_2^2 + A_{22}W_2^2 +$$

$$\mathcal{W} = \frac{1}{2} [m(u_2^2 + u_2^2 + w_2^2) + 2m[u \cdot w] \cdot ([U_1 U_2 U_3] \wedge [xG \cdot yG \cdot zG]) +$$

simetria do corpo em relação ao eixo longitudinal (eixo x) vêm:

usando a decomposição de  $\Phi$ , eq. 3.1, a definição de  $A_{ij}$ , eq. 3.4, e assumindo

$$\begin{bmatrix} I_{44} & I_{45} & I_{46} \\ I_{54} & I_{55} & I_{56} \\ I_{64} & I_{65} & I_{66} \end{bmatrix} = I \quad \vec{x} = x\vec{G}_i + y\vec{G}_j + z\vec{G}_k;$$

e

$$\vec{u} = [u \ v \ w]^T; \quad \vec{w} = [U_1 \ U_2 \ U_3]^T;$$

Assim, se

o que, entretanto, não significa ser uma tarefa fácil 3.

corpo em um fluido reduz-se a um sistema de equações diferenciais ordinárias,

Portanto, no contexto de fluidos ideais, o problema da dinâmica de um único

pelo conjunto de constantes  $A_{ij}$  que dependem apenas da geometria do corpo.

Nota-se que os efeitos do fluido na dinâmica do corpo são representados

um corpo imerso em um fluido.

correspondente, pode-se escrever as equações de movimento para a dinâmica de

onde se é alguma coordenada generalizada do corpo e  $\ddot{Q}_i$  é a força generalizada

conhecida na Literatura como "Forma Quadrática" da Energia Cinética [10].

$$\mathbb{M} = \begin{bmatrix} (m + A_{11}) & 0 & 0 & A_{13} & 0 & -mzg + A_{15} \\ 0 & m + A_{22} & 0 & 0 & mzg + A_{24} & -mzg + A_{26} \\ 0 & 0 & m + A_{33} & 0 & 0 & mzg + A_{35} \\ A_{31} & 0 & -mzg + A_{42} & myg & I_{44} + A_{44} & I_{46} + A_{46} \\ 0 & 0 & m + A_{43} & myg & I_{45} & I_{46} + A_{46} \\ 0 & -mzg + A_{46} & 0 & -mzg + A_{53} & I_{54} & I_{55} + A_{55} \\ \end{bmatrix}$$

$$\begin{bmatrix} U_3 \\ U_2 \\ U_1 \\ w \\ u \\ n \end{bmatrix} = n$$

onde:

$$(3.6) \quad \mathbb{W} = \frac{2}{1} u_t \mathbb{M} u$$

A expressão acima pode ser rescrita na forma matricial:

$$\begin{aligned} & A_{13}w + A_{31}u \\ & A_{46}U_1U_3 + (I_{61} + A_{64})U_3U_1 + (I_{55} + A_{55})U_2^2 + I_{56}U_2U_3 + I_{65}U_3U_2 + (I_{66} + A_{66})U_3^2 + \\ & A_{35}wU_2 + (-mzg + A_{53})U_2w + (I_{44} + A_{44})U_2^2 + I_{45}U_1U_2 + I_{54}U_2U_1 + (I_{46} + \\ & (-mzg + A_{24})U_1u + (-mzg + A_{42})U_1u + (myg)wU_1 + (myg)U_1w + (-mzg + \\ & A_{51})U_2u + (-myg)uU_3 + (-myg)U_3u + (mzg + A_{26})uU_3 + (mzg + A_{62})U_3u + \\ & \mathbb{W} = \frac{2}{1} \{(m + A_{11})u^2 + (m + A_{22})u^2 + (m + A_{33})w^2 + (mzg + A_{15})uU_2 + (mzg + \end{aligned}$$

Fazendo as multiplicações e agrupando os termos vem:

$$(3.5) \quad A_{53}U_2w + A_{55}U_2^2 + A_{62}U_3u + A_{64}U_3U_2 + A_{66}U_3^2$$

<sup>4</sup>Lembrando que, se  $\Phi$  for o ângulo de yaw, no plano:  $\mathcal{L}_3 = \Phi$

$$\dot{M}^6 = (mxg + A_{26})\dot{\Phi} + (I_{66} + A_{66})\ddot{\Phi}$$

$$\begin{aligned} & (m + A_{22})\dot{u}_j - (m + A_{22})u_i\dot{\Phi} + (mxg + A_{26})\dot{\Phi}_j - (mxg + A_{26})\dot{\Phi}_i \\ & (m + A_{22})[\dot{u}_j + u(\dot{\Phi}_k \wedge \dot{u}_j)] + (mxg + A_{26})[\dot{\Phi}_j + \dot{\Phi}(\dot{\Phi}_k \wedge \dot{u}_j)] \\ F^2 &= (m + A_{22})[\dot{u}_j + u(\dot{\Phi}_k \wedge \dot{u}_j)] + (mxg + A_{26})[\dot{\Phi}_j + \dot{\Phi}(\dot{\Phi}_k \wedge \dot{u}_j)] \end{aligned}$$

$$(m + A_{11})\dot{u}_i + (m + A_{11})u_i\dot{\Phi}_j =$$

$$[(\dot{u}_i \wedge \dot{u}_j) + u(\dot{\Phi}_k \wedge u_i\dot{\Phi}_j)] =$$

$$F^1 = (m + A_{11})[\dot{u}_i + u_i]$$

ficam:

de modo que as expressões para forga de surge, sway e momento de yaw

$$\frac{\dot{\Phi}\varrho}{\mathbb{M}\varrho} - (\frac{\dot{\Phi}\varrho}{\mathbb{M}\varrho})\frac{dp}{p} = M^6$$

$$\frac{\dot{u}\varrho}{\mathbb{M}\varrho} - (\frac{\dot{u}\varrho}{\mathbb{M}\varrho})\frac{dt}{p} = F^2$$

$$\frac{x\varrho}{\mathbb{M}\varrho} - (\frac{x\varrho}{\mathbb{M}\varrho})\frac{dt}{p} = F^1$$

e, pelas equações de Lagrange:

$$\mathbb{M} = \frac{2}{L} \left[ (m + A_{11})u^2 + (m + A_{22})v^2 + 2(mxg + A_{26})u\dot{\Phi} + (I_{66} + A_{66})\dot{\Phi}^2 \right]$$

da Energia Cinética reduz-se a :

Considerando o movimento no plano horizontal, e também  $yG = 0$ , a expressão

tema de referência tri-ortogonal fixo no espaço (global)  $\mathbb{R}^3$  de versores  $\{\hat{e}_1, \hat{e}_2, \hat{e}_3\}$ .  
ortogonal, denominado  $K^a$ , sendo  $\{\hat{e}_{a1}, \hat{e}_{a2}, \hat{e}_{a3}\}$  seus versores, além de um sis-  
-tema de referência tri-ortogonal fixo no espaço (local)  $\mathbb{R}^3$  de versores  $\{\hat{e}_1, \hat{e}_2, \hat{e}_3\}$ .

Em cada corpo é fixado um ponto de referência e um sistema de referência tri-

$$(3.9) \quad \left. \begin{aligned} \Delta \Phi = & \left[ \hat{V}^a + \hat{U}^a \times (\hat{x}^a - \hat{R}^a) \right] \cdot \hat{n}, & \text{para } \hat{x} \in \partial \eta^a \\ \Delta^2 \Phi = & 0, & \text{para } \hat{x} \in S \end{aligned} \right\} \quad \left. \begin{aligned} \|\Delta \Phi\| \rightarrow 0 & \quad \text{para } \|\hat{x}\| \rightarrow \infty \\ \|\Delta \Phi\|^2 & \end{aligned} \right\}$$

e

onde  $S$  é o conjunto aberto de pontos em  $\mathbb{R}^3$  a menos de  $r_1 \cup \dots \cup r_N$  (os sólidos)

(3.8)

$$\mathbb{W} = \frac{1}{N} \sum_{a=1}^N \left[ (m_a \|\dot{\eta}^a\|^2 + 2 m_a \dot{\eta}^a \cdot (\dot{\omega}^a \times \dot{x}^a g^a) + \dot{\omega}^a \cdot I^a \omega^a) \right] + \frac{2}{\rho} \int_S \|\Delta \Phi\|^2$$

$a \in 1, 2, \dots, N$ , ter-se-ia a expressão abaixo:

argumentos do capítulo anterior, e identificando cada corpo por uma letra grega  
em termos de coordenadas generalizadas dos sólidos apenas. Usando os mesmos  
a ideia seria novamente escravar a energia cinética do sistema sólidos + fluido  
Agora, para o problema de vários corpos movendo-se em um fluido ideal,

para varias intensidades e direções de corrente, condições de carregamento, etc.  
de modo ser simulado numericamente no *Simulink* do MATLAB®, por exemplo,  
Têm-se então o sistema dinâmico sólido + fluido completamente modelado, po-  
-didas segundo Simeos [14].

No caso particular de uma correnteza atuando em um FPSO,  $F_x$ ,  $F_y$  e  $M$  são

$$(3.7) \quad \begin{aligned} M &= (I^{66} + A^{66}) \dot{\Psi} + (mxg + A^{26}) \dot{u} \\ F_y &= (m + A^{22}) \dot{u} + (m + A^{11}) \dot{u} \dot{\Psi} + (mxg + A^{26}) \dot{\Psi} \\ F_x &= (m + A^{11}) \dot{u} - (m + A^{22}) \dot{u} \dot{\Psi} - (mxg + A^{26}) \dot{\Psi}^2 \end{aligned}$$

Aggrupando os termos em  $i, j, k$  vem, finalmente:

interagão sobre a dinâmica do sistema.

de interagão entre os dois navios, e, consequentemente, avaliar o impacto dessa interagão da Energia Cinética do sistema apensas, é possível calcular as forças dada pela força de interagão entre elas, e a partir da expressão do termo de navios em tandem o acoplamento hidrodinâmico do sistema FPSO-Aliviador é entre elas. Essa "separação" dos termos é conveniente porque, para o caso de dois com cada um dos corpos isolados e outro que reflete a interagão potencial intercâmbio multi-corpos que contenha essencialmente dois termos: um relacionado sistema variacionais, chegando a uma expressão da Energia Cinética para o proposto do proximo capitulo é aproximar a integral acima utilizando-se

e ainda uma função da posição relativa entre elas.

seja uma função quadrática das velocidades lineares e angulares de cada sólido, de cada corpo. E se esperar que, como no caso para um corpo, esta integral em termos de um conjunto de constantes que dependem apensas da geometria

$$(3.10) \quad \frac{d}{dt} \int_0^S \|\Delta\Phi\|^2$$

crever a integral

Entretanto, ao contrário do caso para apensas um sólido, não é possível es-

do corpo a com relação a  $\mathbb{K}$  (matriz de atitude do corpo a).

$N$  operadores ortogonais  $T_a, T_a : K_a \rightarrow \mathbb{K}$ , cada um descrevendo a orientação de um deles é a posição do ponto de referência do corpo a em relação a  $\mathbb{K}$  e assim, a configuração do sistema é determinada por  $N$  vetores posição  $R_a$  onde

Assim, a ideia central desse capítulo é, primeiro, mostrar que a integral 4.1

éles.

lineras e angulares de cada sólido e ainda uma função da posição relativa entre apêndices um corpo, que a integral fosse uma função quadrática das velocidades ométrica de cada corpo, porém que era de se esperar, assim como no caso de em termos de um mesmo conjunto de constantes que dependam apenas da ge-

$$\left. \begin{aligned} & \Delta^2 \Phi = 0 \\ & \int_{\rho}^{\rho+s} \frac{1}{2} \| \Phi \Delta \|^2 \, ds \\ & \Delta \Phi \cdot N^i + Y^i \times (X^i - R^i) = (X^i \cdot N^i + Y^i \cdot N^i) \quad \text{para } X \in \partial S^i \\ & \left. \begin{aligned} & \lim_{\|X\| \rightarrow \infty} \|(X)\Phi\Delta\| \sim \frac{\|X\|}{1} \end{aligned} \right\} \end{aligned} \right. \quad (4.1)$$

integral

Também foi dito que, para o caso de  $N$  corpos, não era possível escravar a multiplicados por suas respectivas velocidades.

da geometria do corpo para cada um dos graus de liberdade (massas adicionais), Energia Cinética do fluido foi substituída por coeficientes que dependem apenas partir de uma expansão para a função potencial  $\Phi$ , a integral que representa a isolado, imerso em um meio fluido, a partir da Lagrangiana do sistema. A No capítulo anterior foram obtidas as equações de movimento de um corpo

## O Princípio Variacional

### Capítulo 4

e a conclusão desse fato pode ser expressa na seguinte

$$\int_{\theta}^S - \leq g_{\theta} \int_{\theta}^S + 2 \int_{\theta}^S \|\Delta\|^2$$

Qu seja, 4.3 implica em

$$\int_{\theta}^S (\underline{u} \cdot \Phi \Delta) \Phi - \int_{\theta}^S \|\Delta\|^2 = \underbrace{\int_{\theta}^S (\underline{u} \cdot \Phi \Delta)}_{g} - 2 \int_{\theta}^S \|\Delta\|^2$$

e

$$- \int_{\theta}^S G_{green}^2 \|\Phi \Delta\|^2$$

Mas

$$\begin{aligned} & \int_{\theta}^S \|\Delta\|^2 - 2 \int_{\theta}^S g(\Delta \cdot \underline{u}) \leq \\ & \lesssim \int_{\theta}^S \|\Delta \Phi \Delta\|^2 + 2 \int_{\theta}^S \|\Delta \Phi \Delta\|^2 = \int_{\theta}^S \|\theta \Delta\|^2 \end{aligned} \quad (4.3)$$

Então

onde  $g < 1$ .

$$\theta + \Phi = \varphi \quad (4.2)$$

onde  $g$  é uma função genérica que define uma certa condição de controle, seja

$$\left. \begin{array}{l} \|\Phi \Delta\| \rightarrow 0 \quad \text{como } \|x\| \rightarrow \infty \\ \text{para } x \in \partial S \\ \Delta \cdot \underline{u} = g(x), \quad \text{para } x \in \partial S \\ \Delta^2 \Phi = 0 \end{array} \right\}$$

Dada uma função  $\varphi$  tal que

de  $\eta_1 \cup \dots \cup \eta_N$  (os solidos).

Recordando o Capítulo 3, seja  $S$  o conjunto aberto de pontos em  $\mathbb{R}^3$  a menos

## 4.1 Caracterização Variacional de $\int_S \|\nabla \Phi\|^2$

admite um princípio variacional, e, a partir de uma "função-tentativa", chegar a uma aproximação para a Energia Cinética do fluido para o caso de vários corpos em movimento, levando em conta a interação imaterial entre elas, e sendo função apenas dos coeficientes dos corpos isolados e da posição relativa entre elas.

1 Esta desigualdade independe se  $\bar{x}$  é tomado em sentido ao fluido ou fora dele.

$\theta$  é a de que, estando os corpos suficientemente afastados, cada  $\phi_i$  se comporta

Em outras palavras, a hipótese que está sendo feita para a "função-tensão"

funcionais de massa adicional, é o centro de volume do corpo e o vetor posigão.

Nas expansões acima,  $\eta$  é o volume do corpo, os coeficientes  $A_{ik}^j$  e  $A_{ik}^{jk}$  são os coe-

para  $i = 4, 5, 6$ .

$$\phi_{ai}(x) \sim -\frac{1}{1} \frac{|x|^3}{4\pi} \left\{ A_{ik}^j x_k + e_{i-3} \cdot (\bar{x} \times x) \right\} + o\left(\frac{|x|^3}{1}\right) \quad (4.7)$$

para  $i = 1, 2, 3$ , e

$$\phi_{ai}(x) \sim -\frac{1}{1} \frac{|x|^3}{4\pi} \left\{ x_k A_{ik}^j + x_i |x| \right\} + o\left(\frac{|x|^3}{1}\right) \quad (4.6)$$

onde cada função  $\phi_i$  admite, por sua vez, a seguinte expansão (Lamb [5]):

$$\sum_i \phi_{ai} c_{ai} = \theta \quad (4.5)$$

N corpos, ou seja:

para o problema multi-corpos é a expansão de  $\theta$  dada por 3.1 extendida para

Os corpos estando suficientemente afastados, uma possível "função-tensão"

que, ao ser substituída na integral 4.1, acarrete em um erro da ordem de  $\delta^2$ .

que satisfaaz as condições de contorno 4.1 com um erro da ordem  $\delta$ , de modo

O próximo passo agora é identificar, dentro das funções  $\theta \in H^1(S)$ , aquela

onde  $H^1(S)$  é o domínio do funcional  $F(\theta)$ .

$$\int_S \|\Delta \Phi\|_2^2 = \max \left\{ -2 \int_S \theta g - \int_S \|\Delta \theta\|_2^2 \right\} \quad (4.4)$$

Mais ainda, tomando  $\theta = \Phi$  tem-se a identidade, e portanto:

$$\int_S \|\Delta \Phi\|_2^2 \geq -2 \int_S \theta g - \int_S \|\Delta \theta\|_2^2$$

Proposição 1. Seja  $\theta$  tal que  $\int_S \|\Delta \theta\|_2^2 < \infty$  e  $\int_S \theta g$  existe. Então

## 4.2 Dedução dos termos de $\mathbb{W}^a$ e $\mathbb{W}^{ab}$

cional de 4.1 feita no início deste capítulo.

mostrando como o  $\mathbb{W}^a$  e  $\mathbb{W}^{ab}$  formam obtidos a partir da caracterização variá-

Assim exposito o resultado principal deste texto, na proxima seção sera

$$(\mathbb{F}_{\alpha\beta}\mathbb{Y}^{\beta\gamma}).$$

ainda que  $\mathbb{W}^{ab}$  é o produto escalar de dois vetores de dimensão  $3 \times 1$ :  $(\lambda^a)$  e  $(\lambda^b)$ , representar as velocidades lineares e angulares de cada corpo. Nota-se que  $\mathbb{F}_{\alpha\beta}$  representa a posigão relativa entre os corpos na matriz  $\mathbb{F}_{\alpha\beta}$ , restando para em  $\lambda^a$  e  $\lambda^b$ , é a posigão relativa entre os corpos na matriz  $\mathbb{F}_{\alpha\beta}$ , restando para ativa entre eles é confirmada por 4.8, pois em  $\mathbb{W}^{ab}$  os primeiros estão contidos coeficientes geométricos dos corpos isolados (massas adicionais) e da posigão rel-

A hipótese feita anteriormente de que 4.1 seria uma função dependente dos

$$\begin{aligned} \mathbb{W}^{ab} &= \frac{1}{2} \sum_{\alpha=1}^N \sum_{\beta=\alpha+1}^N (\lambda^a \cdot \mathbb{F}_{\alpha\beta} \lambda^b), \\ \mathbb{W}^a &= \sum_{\alpha=1}^N \left( \frac{1}{2} \sum_{i=1}^6 \sum_{j=1}^6 A_{ij} C_{\alpha i} C_{\alpha j} \right) \end{aligned} \quad (4.8)$$

entre os corpos, dados respectivamente por

segundo, chamado  $\mathbb{W}^{ab}$ , representando o efeito de interagão potencial imerçial do fluido para cada corpo como se estivesse isolado, chamado  $\mathbb{W}^a$ ; e o fluido composta de dois termos: o primeiro, representando a Energia Cinética do corpo citado no parágrafo anterior acarretaria em uma Energia Cinética do

como será mostrado neste capítulo, o comportamento de  $\phi^a$  em cada um

assintótico.

e no corpo  $\beta \neq \alpha$  seu efeito é muito pequeno, devido ao seu comportamento como um dipolo, de modo que no corpo a elá é a solução do problema potencial,

$$\underline{x} - \underline{R}^a = \underline{x} - \underline{R}^g + \underline{R}^g - \underline{R}^a$$

Note que  $\|T_{-1}(\underline{x} - \underline{R}^a)\|_2 = \|\underline{x} - \underline{R}^a\|_2$ . De 4.10 vemos que

$$\begin{aligned}\phi^{ai}(\underline{x}^a) &= -\frac{1}{1} \frac{\|\underline{x} - \underline{R}^a\|_2}{\|\underline{x}^{ai} \cdot (T_{-1}(\underline{x} - \underline{R}^a))\|_2} \\ &= -\frac{4\pi}{1} \frac{\|\underline{x} - \underline{R}^a\|_2}{\|\underline{x}^{ai} \cdot (T_{-1}(\underline{x} - \underline{R}^a))\|_2} + o\left(\frac{1}{1}\right)\end{aligned}$$

Substituindo na Proposição 2 vemos:

$$\text{vem que } \underline{x}^a = T_{-1}(\underline{x} - \underline{R}^a).$$

$$R \stackrel{\text{def}}{=} \min\{\|\underline{R}^g - \underline{R}^a\| : \text{para } a \neq b, \quad a = 1, \dots, N; \quad b = 1, \dots, N\}$$

e

$$\underline{R}^{ag} = \underline{R}^g - \underline{R}^a \quad (4.10)$$

Define-se

4.9 de uma outra maneira.

Antes de verificarmos se elas satisfazem as condições de controlo 4.1, convém escrever

coeficiente de dipolo da expansão multipolo de  $\phi^{ai}$ .

Nota-se que o parâmetro geométrico  $\chi^a$  que aparece na Proposição acima é o

linear das angulares na dedução dos termos de  $\underline{W}^a$  e  $\underline{W}^{ab}$ .

(Eq. 4.13 e 4.14) - é que não havendo necessidade de separar os movimentos

A vantagem da notação acima - uma expressão só para  $\phi^{ai}$  ao invés de duas

$$\begin{cases} \underline{x}^a = T_{-1}(\underline{x} - \underline{R}^a) \\ \chi^{ai} \stackrel{\text{def}}{=} \left\{ \epsilon^{a(i-3)} \times \underline{s}^a + \frac{1}{1} \sum_{j=1}^3 A_{ij} \epsilon^{aj} \right\} \in K^a, \quad \text{para } i = 4, 5, 6 \\ \chi^{ai} \stackrel{\text{def}}{=} \left\{ \eta_{ia} \epsilon^{ai} + \frac{1}{1} \sum_{j=1}^3 A_{ij} \epsilon^{aj} \right\} \in K^a, \quad \text{para } i = 1, 2, 3 \end{cases}$$

onde

$$\phi^{ai}(\underline{x}^a) = -\frac{1}{1} \frac{\|\underline{x}^a\|_2}{\|\underline{x}^{ai} \cdot \underline{x}^a\|} \left\{ \frac{\|\underline{x}^a\|_2}{\|\underline{x}^{ai} \cdot \underline{x}^a\|} + R(\underline{x}^a) \right\} \quad (4.9)$$

1, 2, 3 é do problema 3.9 para  $i = 4, 5, 6$ . Então:

Proposição 2. Seja  $\phi^{ai}$  presente em 4.5 a solução do problema 3.2 para  $i =$

$$\begin{aligned}
& \left\{ \left( T_{\tilde{x}}^{\alpha_i} \cdot \frac{\| \tilde{P}_{\alpha_i}^g \|}{\| \tilde{P}_g \|} \right) + \right. \\
& \left. \left( \frac{\| \tilde{P}_{\alpha_i}^g \|}{\| \tilde{P}_g \|} \cdot T_{\tilde{x}}^{\alpha_i} \right) \right\} = \\
& \left( T_{\tilde{x}}^{\alpha_i} \cdot (\tilde{x} - \tilde{P}_g) \right) + \left( T_{\tilde{x}}^{\alpha_i} \cdot \tilde{P}_{\alpha_i}^g \right)
\end{aligned} \quad (4.14)$$

Por outro lado

$$\begin{aligned}
& \frac{\| \tilde{P}_{\alpha_i}^g \|_3}{1} = \frac{\| \tilde{P}_{\alpha_i}^g \|_3}{1} = \frac{\| \tilde{P}_{\alpha_i}^g \|_3 (1 + e + \dots)}{1} = \\
& \frac{\| (\tilde{x} - \tilde{P}_g) + \tilde{P}_{\alpha_i}^g \|_3}{1} = \frac{\| (\tilde{x} - \tilde{P}_g) + \tilde{P}_{\alpha_i}^g \|_3}{1} = \frac{\| (\tilde{x} - \tilde{P}_g) \|_3}{1} + \dots
\end{aligned} \quad (4.13)$$

veja que

$$\left. \begin{aligned}
& \frac{1+e}{1} \approx 1 - e + e^2 - \dots \\
& \dots (1 + e + \dots)^{\frac{1}{3}} \approx 1 + \frac{1}{3}e + \dots
\end{aligned} \right\}$$

Lembreando que

$$\left. \begin{aligned}
& \left\{ \left( \frac{\tilde{P}_g^2}{1} \right) 1 + e + o \right\} = \| \tilde{P}_{\alpha_i}^g \|_3 = \| (\tilde{x} - \tilde{P}_g) + \tilde{P}_{\alpha_i}^g \|_3
\end{aligned} \right.$$

Assim:

$$\phi^{\alpha_i}(\tilde{x}) = -\frac{4\pi}{1} \frac{\| (\tilde{x} - \tilde{P}_g) + \tilde{P}_{\alpha_i}^g \|_3}{1} \left\{ \left( T_{\tilde{x}}^{\alpha_i} \cdot (\tilde{x} - \tilde{P}_g) + \tilde{P}_{\alpha_i}^g \right) \right\} \quad (4.12)$$

2.

$$\begin{aligned}
& \left\{ \overbrace{\frac{o\left(\frac{\tilde{P}_g^2}{1}\right)}{\| \tilde{P}_{\alpha_i}^g \|_2^2} + \overbrace{\frac{\| \tilde{P}_{\alpha_i}^g \|_2}{\| \tilde{x} - \tilde{P}_g \|_2^2}}^e} \right\} = \| \tilde{P}_{\alpha_i}^g \|_2^2 \\
& \| \tilde{x} - \tilde{P}_g \|_2^2 + 2(\tilde{x} - \tilde{P}_g) \cdot \tilde{P}_{\alpha_i}^g + \| \tilde{P}_{\alpha_i}^g \|_2^2 = \\
& (\tilde{x} - \tilde{P}_g) + \tilde{P}_{\alpha_i}^g \cdot (\tilde{x} - \tilde{P}_g) + \tilde{P}_{\alpha_i}^g = \\
& \| \tilde{x} - \tilde{P}_g \|_2^2 = \| \tilde{x} - \tilde{P}_g + \tilde{P}_{\alpha_i}^g \|_2^2
\end{aligned}$$

1.

e portanto

$$\tilde{x} - \tilde{P}^\alpha = \tilde{x} - \tilde{P}^g + \tilde{P}^{\alpha_i} \quad (4.11)$$

2 Lembrando que  $T_{-1}^g(x - R^g) = \underline{x}$

$$\Phi(R^{ag}) + \underbrace{L_{-1}^g f_{ag} \cdot L_{-1}^g R^{ag}}_{\underline{x}} - [L_{-1}^g f_{ag} \cdot \underline{x}] = \Phi(R^{ag}) - [L_{-1}^g f_{ag} \cdot (L_{-1}^g \underline{x} - R^a)] = \phi^{ai}(\underline{x})$$

Mas  $T^g \underline{x} = \underline{x} - R^g = (\underline{x} - R^a) - R^a$  (usando 4.10). Então:

onde  $\Phi$  é uma função quadrática que depende apenas de  $R^{ag}$ .

$$\Phi(R^{ag}) - (L_{-1}^g f_{ag} \cdot L^g \underline{x}) = \Phi(R^{ag}) - f_{ag} \cdot \underline{x} = \phi^{ai}(\underline{x})$$

Note que a expressão acima pode ser escrita como:

$$\phi^{ai}(\underline{x}) = -\frac{1}{1} \frac{\|R^{ag}\|^3}{\|L_{-1}^g f_{ag} \cdot R^{ag}\|^2} \left[ -3(L_{-1}^g f_{ag} \cdot R^{ag}) \underline{x} \right] \quad (4.16)$$

$$\phi^{ai}(\underline{x}) = -\frac{1}{1} \frac{\|R^{ag}\|^3}{\|L_{-1}^g f_{ag} \cdot R^{ag}\|^2} \left[ -\frac{4\pi \|R^{ag}\|^5}{1} (L_{-1}^g f_{ag} \cdot R^{ag}) - \frac{4\pi \|R^{ag}\|^5}{1} (L_{-1}^g f_{ag} \cdot R^{ag}) \underline{x} \right]$$

ou seja

$$\phi^{ai}(\underline{x}) = -\frac{1}{1} \frac{\|R^{ag}\|^3}{\|L_{-1}^g f_{ag} \cdot R^{ag}\|^2} \left[ -3(L_{-1}^g f_{ag} \cdot R^{ag})(L_{-1}^g R^{ag} \cdot R^g) - \frac{4\pi \|R^{ag}\|^5}{1} (L_{-1}^g f_{ag} \cdot R^{ag}) \underline{x} \right]$$

Multiplicando-se a de b de 4.15 por  $T_{-1}^g$  vem, finalmente 2:

$$\phi^{ai}(\underline{x}) = -\frac{1}{1} \frac{\|R^{ag}\|^2}{\|L_{-1}^g f_{ag} \cdot R^{ag}\|^2} \left[ \left( \frac{\|R^{ag}\|}{\|L_{-1}^g f_{ag} \cdot R^{ag}\|} \right)^2 T_{-1}^g f_{ag} \cdot \underline{x} - \left( \frac{\|R^{ag}\|}{\|L_{-1}^g f_{ag} \cdot R^{ag}\|} \right)^3 (L_{-1}^g f_{ag} \cdot R^{ag}) \underline{x} \right] \quad (4.15)$$

$$\phi^{ai}(\underline{x}) = -\frac{1}{1} \frac{\|R^{ag}\|^2}{\|L_{-1}^g f_{ag} \cdot R^{ag}\|^2} \left[ \left( \frac{\|R^{ag}\|}{\|L_{-1}^g f_{ag} \cdot R^{ag}\|} \right)^2 T_{-1}^g f_{ag} \cdot \underline{x} + \left( \frac{\|R^{ag}\|}{\|L_{-1}^g f_{ag} \cdot R^{ag}\|} \right)^3 (L_{-1}^g f_{ag} \cdot R^{ag}) \underline{x} \right]$$

vem

Substituindo 4.13 e 4.14 em 4.12 e desprezando os termos de ordem superior

$$\begin{aligned}
& \sum_{\alpha=1}^6 \sum_{\beta=1}^6 \sum_{i=1}^{B_i} c_{\alpha i} \phi^{\alpha i}(x^\alpha) + \sum_{\alpha=1}^6 \sum_{i=1}^{B_i} c_{\beta i} \phi^{\beta i}(x^\beta) = \\
& \sum_{\alpha=1}^6 \sum_{i=1}^{B_i} c_{\alpha i} \phi^{\alpha i}(x^\alpha) = \theta(x)
\end{aligned} \tag{4.18}$$

Assim, conforme dito anteriormente, aproximando  $\Phi$  da equação 4.1 por

“i”, como se este estivesse se movendo na auséncia de outros corpos.

corpo  $B$  devendo a um movimento de velocidade unitária do corpo  $A$  na direção

Fisicamente,  $f_{\alpha\beta}^i \in K^g$  representa a velocidade do fluido no referencial do

$$x^\beta = T_{-1}^\alpha (x - R_{\alpha\beta}) \quad \Leftarrow \quad x^\alpha = T_{-1}^\beta (R_{\alpha\beta} + T^\alpha_\beta x^\beta)$$

e

(4.17)

$$f_{\alpha\beta}^i = F_{\alpha\beta}^i Y^{\alpha i} = \frac{1}{1} \frac{4\pi \|R^{\alpha\beta}\|^2}{\|Y^{\alpha\beta}\|^2} T_{-1}^\alpha T^\beta_\alpha - 3(T^\alpha_\alpha Y^{\alpha i} \cdot R^{\alpha\beta}) T_{-1}^\beta R^{\alpha\beta}$$

onde

$$\left( \frac{R^{\alpha\beta}}{1} \right) o + f_{\alpha\beta}^i = \phi^{\alpha i}(T_{-1}^\alpha R^{\alpha\beta}) - f_{\alpha\beta}^i \cdot x^\beta + o\left(\frac{R^{\alpha\beta}}{1}\right)$$

e

$$\left( \frac{R^{\alpha\beta}}{1} \right) o + f_{\alpha\beta}^i = T_{-1}^\alpha \Delta \phi^{\alpha i}(x^\alpha)$$

Além disso, seja  $\phi^\alpha$  a solução do problema 3.2 para  $i = 1, 2, 3$  e do problema 3.3 para  $i = 4, 5, 6$ . Supondo  $x^\alpha \in Q^g$ ,  $B \neq A$ , então vale a seguinte expansão:

$$\begin{aligned}
F_{\beta\alpha}^i &= (F_{\alpha\beta}^i e^\beta \cdot e^\alpha) = \\
&= \frac{1}{1} \frac{4\pi \|R^{\alpha\beta}\|^2}{\|Y^{\alpha\beta}\|^2} (T^\alpha_\beta e^\beta \cdot T^\alpha_\alpha e^\alpha) - 3(e^\beta \cdot T_{-1}^\beta R^{\alpha\beta}) (T_{-1}^\alpha R^{\alpha\beta} \cdot e^\alpha) = \\
&= F_{\beta\alpha}^i = o\left(\frac{R^{\alpha\beta}}{1}\right) = \Delta \phi^{\alpha i}(x^\alpha)
\end{aligned}$$

cujá matriz  $3 \times 3$  tem os seguintes elementos:

Proposição 3. Para cada par  $\alpha, \beta$ ,  $\alpha = 1, \dots, N$ ,  $\beta = 1, \dots, N$ , com  $\alpha \neq \beta$ , define-se uma transformação  $F_{\alpha\beta}^i : K^g \rightarrow K^a$  que depende de  $T^\alpha$ ,  $T^\beta$  e  $R^{\alpha\beta}$ ,

corpos através da seguinte

Os argumentos e idéias expostas acima podem ser estendidos para mais de dois

$$\Delta \phi^{\alpha i}(x^\alpha) = T_{-1}^\beta f_{\alpha\beta}^i$$

Finalmente, tomado o gradiente:

$$\frac{\rho}{1} A_{ij} = \int_{\Omega^a} \phi^{ai}(\underline{x}) \Delta \phi^{aj}(\underline{x}) \cdot \underline{n}^a(\underline{x}) -$$

Da definição de massa adicional segue

$$\begin{aligned} & \left( \frac{\rho}{1} H^4 \right) o + \left\{ ((\underline{x}) \underline{n}^a(\underline{x}) \Delta \phi^{ai}(\underline{x}) \cdot \underline{n}^a(\underline{x})) \right. \\ & \left. - \int_{\Omega^a} (\underline{f}_{\beta a} \cdot \underline{x}^a) \phi^{ai}(\underline{x}) \underline{f}_{\beta a} \cdot \underline{n}^a(\underline{x}) \right\} \sum_{\alpha=1}^6 \sum_{N=1}^g \sum_{9=1}^l \sum_{j=1}^m \\ & \int_{\Omega^a} \phi^{ai}(\underline{x}) \Delta \phi^{aj}(\underline{x}) \cdot \underline{n}^a(\underline{x}) - \sum_{\alpha=1}^6 \sum_{N=1}^g \sum_{9=1}^l \sum_{j=1}^m C_{\alpha i} C_{\alpha j} F(\theta) = \end{aligned}$$

Qu seja,

$$F(\theta) = \int_{\Omega^a} \theta [-2\Delta \Phi \cdot \underline{n} + \Delta \theta \cdot \underline{n}] \quad (4.19)$$

De 4.4, usando a identidade de Green, vem:

corpos e será usada como aproximação de  $\Phi$ .

Cinética. Isso faz de 4.18 uma "função-tentativa" para o problema de multicompleta. Um erro de ordem 6 de modo que, quando substituída na integral da Energia Cinética do Fluido, acarreta em um erro da ordem de  $6^2$  para esta Energia. Ou seja, de fato  $\theta$  dada por 4.18 satisfaz as condições de contorno 4.1 com

$$\begin{aligned} & \sum_{\alpha=1}^6 \sum_{N=1}^g \sum_{9=1}^l \sum_{i=1}^g C_{\beta i} f_{\beta a} \cdot \underline{n}^a(\underline{x}) \\ & T_a \underline{n}^a(\underline{x}) - \sum_{\alpha=1}^6 \sum_{N=1}^g \sum_{9=1}^l \sum_{i=1}^g C_{\beta i} T^{\beta} \Delta \phi^{\beta i}(\underline{x}) \cdot \underline{n}^a(\underline{x}) = \\ & \sum_{\alpha=1}^6 \sum_{N=1}^g \sum_{9=1}^l \sum_{i=1}^g C_{\alpha i} [T^{\alpha} \Delta \phi^{\alpha i}(\underline{x}) \cdot \underline{n}^a(\underline{x}) + \underbrace{[(x) \underline{n} \cdot (x) \theta] \Delta}_{T^{\alpha} \underline{n}^a(\underline{x})}] = (x) \theta \Delta \\ & \sum_{\alpha=1}^6 \sum_{N=1}^g \sum_{9=1}^l \sum_{i=1}^g C_{\beta i} T^{\beta} \Delta \phi^{\beta i}(\underline{x}) = (x) \theta \Delta \\ & \text{tem-se, para } \underline{x} \in \partial \Omega^a: \end{aligned}$$

(4.22)

$$-\frac{4\pi}{3} \int_I \frac{\|x^a\|_5}{(f_{\beta^a}^i \cdot x^a \cdot n^a(x^a))} = \frac{4\pi R^3}{3} \int_I \frac{\|x^a\|_5}{(f_{\beta^a}^i \cdot x^a \cdot n^a(x^a))} = ((x^a \phi^{\alpha_i} (x^a \cdot f_{\beta^a}^i) - (x^a \phi^{\alpha_i} (x^a \cdot f_{\beta^a}^i) \Delta \phi^{\alpha_i} (x^a) \cdot n^a(x^a))) \int_I$$

implica em:

A equação acima, juntando com 4.21 e o fato de que para  $x^a \in I$ ,  $n^a(x^a) = -\frac{x^a}{\|x^a\|}$

$$\begin{aligned} & + \frac{4\pi}{3} \int_I \frac{\|x^a\|_5}{(f_{\beta^a}^i \cdot x^a \cdot x^a) (\chi^{\alpha_i} \cdot x^a \cdot n^a(x^a))} + o\left(\frac{R^3}{I}\right) \\ & + \frac{\varepsilon \|x^a\|_3}{\chi^{\alpha_i} \cdot x^a \cdot n^a(x^a)} \int_I \frac{4\pi}{I} = ((x^a \phi^{\alpha_i} (x^a) \cdot n^a(x^a)) \Delta \phi^{\alpha_i} (x^a) \cdot n^a(x^a)) \int_I \end{aligned}$$

Usando essa aproximação vem

$$\left( \frac{\|x^a\|_4}{I} \right) o + \left\{ \frac{4\pi \|x^a\|_5}{I} \left( \|x^a\|_2 \chi^{\alpha_i} - 3(\chi^{\alpha_i} \cdot x^a) x^a \right) \right\} = -\Delta \phi^{\alpha_i} (x^a)$$

Diferenciando a aproximação para  $\phi^{\alpha_i}$  da Proposição 2 obtem-se:

$$\int_I \phi^{\alpha_i} (x^a \cdot f_{\beta^a}^i) f_{\beta^a}^i \cdot n^a(x^a) + o\left(\frac{R^3}{I}\right) \quad (4.21)$$

Usando a Proposição 2 vem

$$\begin{aligned} & ((x^a \phi^{\alpha_i} (x^a) \cdot n^a(x^a)) \int_I - (x^a \phi^{\alpha_i} (x^a) \cdot n^a(x^a)) \int_I = \\ & = ((x^a \phi^{\alpha_i} (x^a) \cdot n^a(x^a)) \int_{\partial \eta_a} + x^a \phi^{\alpha_i} (x^a) \cdot n^a(x^a) \int_{\partial \eta_a} - \end{aligned}$$

o que implica em

$$\begin{aligned} & = \int_{\partial \eta_a} (f_{\beta^a}^i \cdot x^a \cdot n^a(x^a) \phi^{\alpha_i} (x^a) \cdot n^a(x^a)) \int_I + ((x^a \phi^{\alpha_i} (x^a) \cdot n^a(x^a)) \cdot (x^a \phi^{\alpha_i} (x^a) \cdot n^a(x^a))) \int_I \\ & = (x^a \phi^{\alpha_i} (x^a) \cdot f_{\beta^a}^i \cdot n^a(x^a) \phi^{\alpha_i} (x^a) \int_I + (x^a \phi^{\alpha_i} (x^a) f_{\beta^a}^i \cdot n^a(x^a) \phi^{\alpha_i} (x^a) \int_{\partial \eta_a}) \end{aligned}$$

obtem-se:

considerando  $\phi^{\alpha_i}$  e  $f_{\beta^a}^i \cdot x^a$  harmônicos fora de  $\eta_a$ , a partir da identidade de Green

Agora suponha uma grande esfera I de raio  $R_F$  centralizada em  $\eta_a$ . Então, con-

em um versor com a mesma direção de  $\hat{R}^{\alpha\beta}$  ( $p_{\alpha\beta}p_{\alpha\beta} = p_{\alpha\beta}\hat{R}^{\alpha\beta} = \hat{R}^{\alpha\beta}$ ).  
Esta matriz define uma transformação  $P_{\alpha\beta} : \mathbb{K} \rightarrow \mathbb{K}$  que projeta qualquer vetor de  $\mathbb{K}$

$$P_{\alpha\beta} = T^{-1}_\alpha G_{\alpha\beta} T_\beta \quad (4.25)$$

Dessa forma a matriz  $P_{\alpha\beta}$  pode ser fatorada como

onde  $\mathbb{I}$  é a matriz identidade.

$$G_{\alpha\beta} \stackrel{\text{def}}{=} \frac{4\pi \| \hat{R}^{\alpha\beta} \|^3}{\mathbb{I}} [\mathbb{I} - 3P_{\alpha\beta}] \quad (4.24)$$

pode-se definir a transformação  $G_{\alpha\beta} : \mathbb{K} \rightarrow \mathbb{K}$  como sendo

$$P_{\alpha\beta} \stackrel{\text{def}}{=} \frac{1}{\| \hat{R}^{\alpha\beta} \|^2} \begin{pmatrix} R_{\alpha\beta} R_{\alpha\beta} & R_{\alpha\beta} R_{\alpha\beta} & R_{\alpha\beta} R_{\alpha\beta} \\ R_{\alpha\beta} R_{\alpha\beta} & R_{\alpha\beta} R_{\alpha\beta} & R_{\alpha\beta} R_{\alpha\beta} \\ R_{\alpha\beta} R_{\alpha\beta} & R_{\alpha\beta} R_{\alpha\beta} & R_{\alpha\beta} R_{\alpha\beta} \end{pmatrix} \quad (4.23)$$

formas três componentes de  $\hat{R}^{\alpha\beta}$ , definindo a matriz  $P_{\alpha\beta}$  como sendo 3 da orientação e da posição relativa entre os corpos  $a$  e  $b$ , e se  $R_{ab1}, R_{ab2}, R_{ab3}$  funções quadráticas ( $\lambda^{ac} \cdot F_{\alpha\beta} \lambda^{cb}$ ). Nota-se que a matriz  $P_{\alpha\beta}$  depende apenas de modo que a energia cinética derivada à interação dos corpos  $a$  e  $b$  é dada pela  $\lambda^{ca}$  é um vetor coluna de 3 elementos. Assim elimina-se as somatórias em  $i$  e  $j$  vetor  $\lambda^{ai}$  é representando  $c_{a1}, \dots, c_{a6}$  como um vetor-coluna  $c_a$ , conclui-se que Definindo a matriz  $\lambda^a$  de dimensão  $3 \times 6$  cuja i-esima coluna é formada pelo A expressão acima pode ser escrita de outra maneira, mais conveniente.

$$c_{ai} = u_{ai}, \quad c_{a(i+3)} = w_{ai} \quad i = 1, 2, 3$$

Lembando que

$$\frac{p}{2} \int_s \|\nabla \Phi\|^2 = \frac{1}{2} \sum_N \sum_6 \sum_6 \sum_N \sum_N \sum_N \lambda^{ai} c_{ai} c_{aj} + \frac{p}{2} \sum_N \sum_6 \sum_6 \sum_N \sum_N \sum_N (\lambda^{ai} \cdot F_{\alpha\beta} \lambda^{bj}) c_{ai} c_{bj}$$

Portanto:

$$\frac{4\pi R_F^3}{3} \int_f (f_{\beta a} \cdot \hat{x}^\alpha) (\lambda^{ai} \cdot n^\alpha(\hat{x}^\alpha)) = -\frac{4\pi R_F^3}{3} \int_{\partial R_F^3} (f_{\beta a} \cdot \lambda^{ai}) = -f_{\beta a} \cdot \lambda^{ai}$$

de Green vem

Considerando que  $(f_{\beta a} \cdot \hat{x}^\alpha) \in (\lambda^{ai} \cdot \hat{x}^\alpha)$  são harmônicos em  $\mathbb{R}^3$ , pela identidade

de duas esferas rigidamente ligadas, com o auxílio do software WAMIT®.  
No próximo capítulo, será feita uma validação numérica de 4.26, para o caso

a posigão relativa entre os corpos (matriz  $F_{ab}$ ).

nas matrizes  $\Lambda^a$  e  $\Lambda^b$ ), suas velocidades lineares e angulares (vetores  $C^a$  e  $C^b$ ) e funçao dos coeficientes hidrodinâmicos dos corpos isolados (massas adicionais  $\mathbb{W}^{ab}$  e Energia Cinética de Interagão do sistema. Novamente lembrando,  $\mathbb{W}^{ab}$  é de  $\mathbb{W}^{ab}$  o termo de interagão imerical, merecidamente chamado neste texto de onde o primeiro deles,  $\mathbb{W}^a$ , é a Energia Cinética dos corpos isolados, o que faz

$$\mathbb{W}^{ab} = \frac{1}{2} \sum_{\alpha=1}^N \sum_{\beta=1}^{N \neq a} (\Lambda^{\alpha} C^{\alpha} \cdot F_{ab} \Lambda^{\beta} C^{\beta}),$$

$$\mathbb{W}^a = \sum_{\alpha=1}^N \left( \frac{1}{2} \sum_{i=1}^6 \sum_{j=1}^6 A_{ij} C_{\alpha i} C_{\alpha j} \right)$$

Claramente percebe-se os dois termos citados anteriormente em 4.26:

$$\frac{p}{2} \int_s \|\Delta \Phi\|^2 = \frac{1}{2} \sum_{\alpha=1}^N \sum_{i=1}^6 A_{ij} C_{\alpha i} C_{\alpha j} + \frac{1}{2} \sum_{\alpha=1}^N \sum_{\beta=1}^{N \neq a} (\Lambda^{\alpha} C^{\alpha} \cdot F_{ab} \Lambda^{\beta} C^{\beta}) \quad (4.26)$$

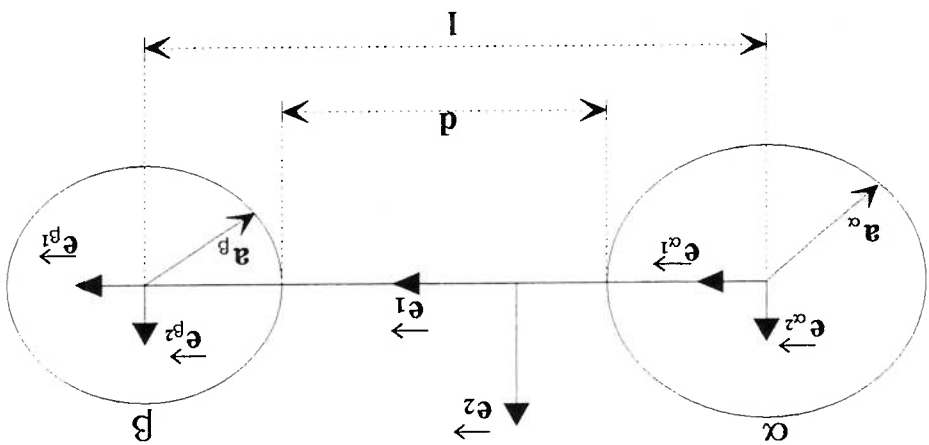
Teorema 1.

do seguinte

Finalmente, o resultado principal desse trabalho pode ser expresso na forma

onde  $G_{ab}$  depende apenas de  $R_{ab}$  (note que  $F_{ab} = (F_{ba})_t$ ).

Figura 5.1: Duas esferas rigidamente ligadas



Considerar duas esferas rigidamente ligadas, de radios  $a_A$  e  $a_B$ , com seus centros imersas em um domínio infinito de fluido, como na figura abaixo, separados por uma distância  $l = d + a_A + a_B$ , onde  $d$  é o “vazio livre” entre elas,

## Validação Numérica

### Capítulo 5

$$\text{defini-se o adimensional } a^* = \frac{a}{a_s}.$$

(b) Esfera G: raios de valores 5m, 10m, 15m, 20m, 25m e, por fim, 30m. Assim,

(a) Esfera a: raio fixo de 30m.

software VAMIT®, adotando o seguinte procedimento (vide fig. 5.1):

A validação numérica das massas adicionais acima foi feita com o auxílio do

centros.

isoladas esses valores são iguais a zero quando calculados em relação a seus já as equações 5.3 e 5.4 contém apenas termos de interação, já que para esferas

$$\text{sway} \text{ cãoem como distância ao cubo. Note ainda que } M_{ag}^{22} = -\frac{2}{1}M_{11}^a.$$

efeto este representado portanto por  $M_{ag}^a$ , que para os movimentos de sway é

$$M^{22} = M_a^{22} + M_b^{22} + M_{ag}^{22}$$

$$M^{11} = M_a^{11} + M_b^{11} + M_{ag}^{11}$$

hidrodinâmica, pois sendo  $M_i^i = \frac{3}{2}\pi r a_i^3$ ;  $i = a, b$ :

Olhaando mais atentamente às expressões acima, nota-se o efeito da interação

$$M^{26} = -M^{35} = \frac{\pi r}{a_a^3 a_b^3} \left[ \frac{a_a^3 + a_b^3}{a_a^3 - a_b^3} \right] \quad (5.4)$$

$$M^{55} = M^{66} = \frac{3}{2} \frac{\pi r (a_a^3 + a_b^3)^2}{a_a^3 a_b^3} \left[ a_a^3 + a_b^3 - \frac{3}{2} \frac{a_a^3 a_b^3}{a_a^3 + a_b^3} \right] \quad (5.3)$$

$$M^{22} = M^{33} = \frac{3}{2} \frac{\pi r}{a_a^3 a_b^3} \left[ a_a^3 + a_b^3 + 3 \frac{a_a^3 a_b^3}{a_a^3 + a_b^3} \right] = \frac{3}{2} \frac{\pi r a_a^3}{a_a^3 a_b^3} + \frac{3}{2} \frac{\pi r a_b^3}{a_a^3 a_b^3} + 2 \frac{\pi r}{a_a^3 a_b^3} \quad (5.2)$$

$$M^{11} = \frac{2}{3} \frac{\pi r}{a_a^3 a_b^3} \left[ a_a^3 + a_b^3 - 6 \frac{a_a^3 a_b^3}{a_a^3 + a_b^3} \right] = \frac{3}{2} \frac{\pi r a_a^3}{a_a^3 a_b^3} + \frac{3}{2} \frac{\pi r a_b^3}{a_a^3 a_b^3} - 4 \frac{\pi r}{a_a^3 a_b^3} \quad (5.1)$$

adicionais do conjunto I:

Aplicando o Teorema I para este caso, tem-se as expressões para as massas

$$A_{ii} = \frac{2}{3} \pi r a^3 \text{ para } i = 1, 2, 3 \text{ e seu volume dado por } \eta = \frac{3}{4} \pi r a^3.$$

A massa adicional para a esfera isolada de raio  $a$ , com relação ao seu centro é

(d) Nos gráficos, o eixo das abscissas representa a distância adimensionalizada

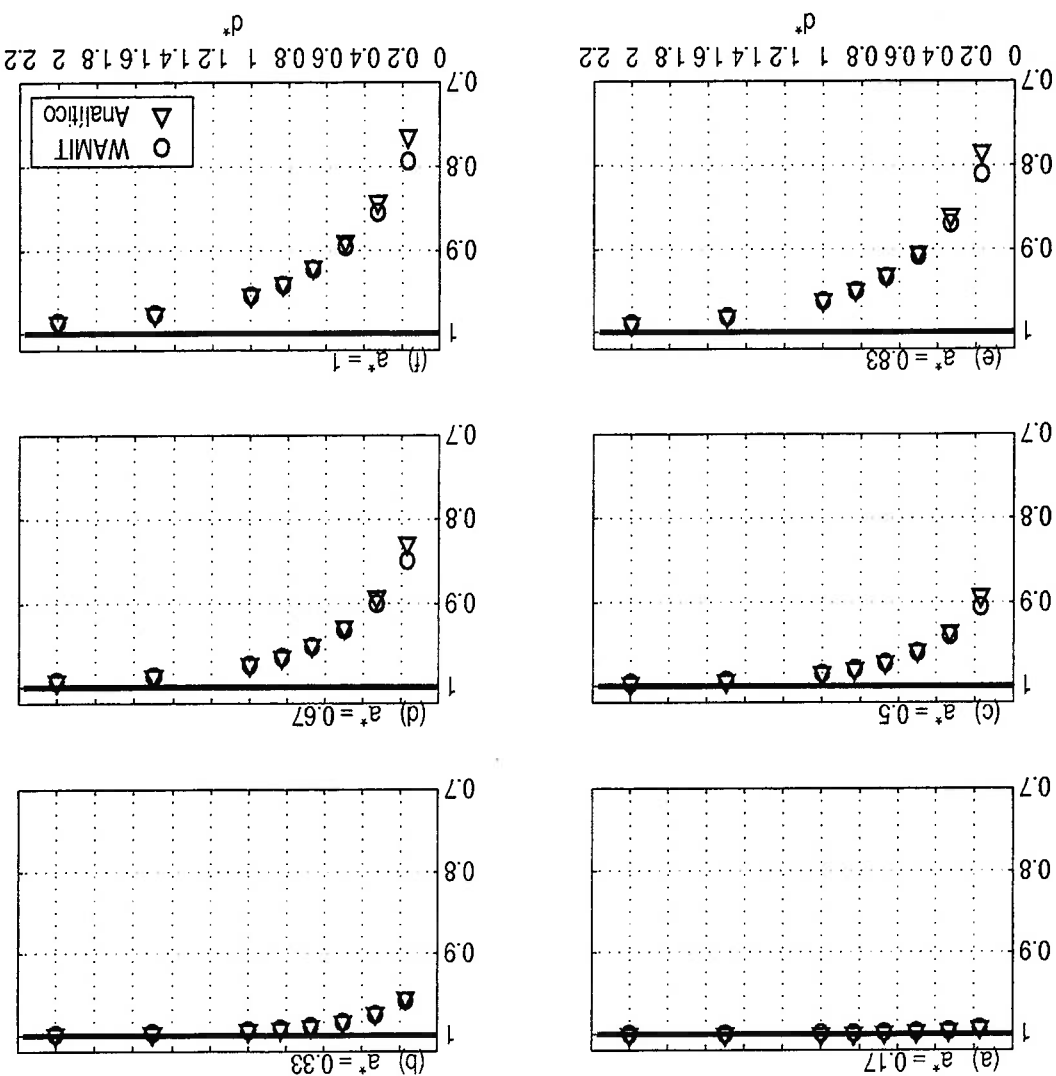
(“vazão livre”) de 10m, 20m, 30m, 40m, 50, 60m, 90m e 120m.

(c) Para cada  $a^*$ , foram aplicadas as expressões 5.1 a 5.4 para distâncias d

Capítulo 5. Vazão Numérica

O maior erro entre a expressão analítica 5.2 e o WAMIT® ocorre também na situação do gráfico Fig. 5.(f) (como no caso de surge, para esferas de diâmetros de 13% - para a mesma situação de duas esferas de mesmo diâmetro (Fig. 5.3 movimento de heave o efeito da interação hidrodinâmica é menor - da ordem destas massas adicionais à soma das esferas isoladas. Entretanto no sistema. Como no caso anterior, nota-se uma tendência assimétrica dos valores As próximas figuras mostram a variação da massa adicional de heave do

Figura 5.2: Massa Adicional de Surge -  $a^* = \frac{a}{\rho}; d^* = \frac{d}{a}$



(Fig. 5, gráfico (f)) entre a expressão 5.4 e o WAMIT®.  
 que para o acoplamento sway-yaw verificou-se um erro de 4.5% para  $a^* = 0.17$   
 a expressão 5.3 e o WAMIT® não ultrapassou 1% em nenhum caso, enquanto  
 para o acoplamento sway-yaw. Para a inércia adicional de pitch o erro entre  
 A seguir estão os resultados obtidos para as inércias adicionais de pitch e

Figura 5.3: Massa Adicional de Heave-  $a^* = \frac{a_p}{d}; d^* = \frac{a_p}{a_s}$

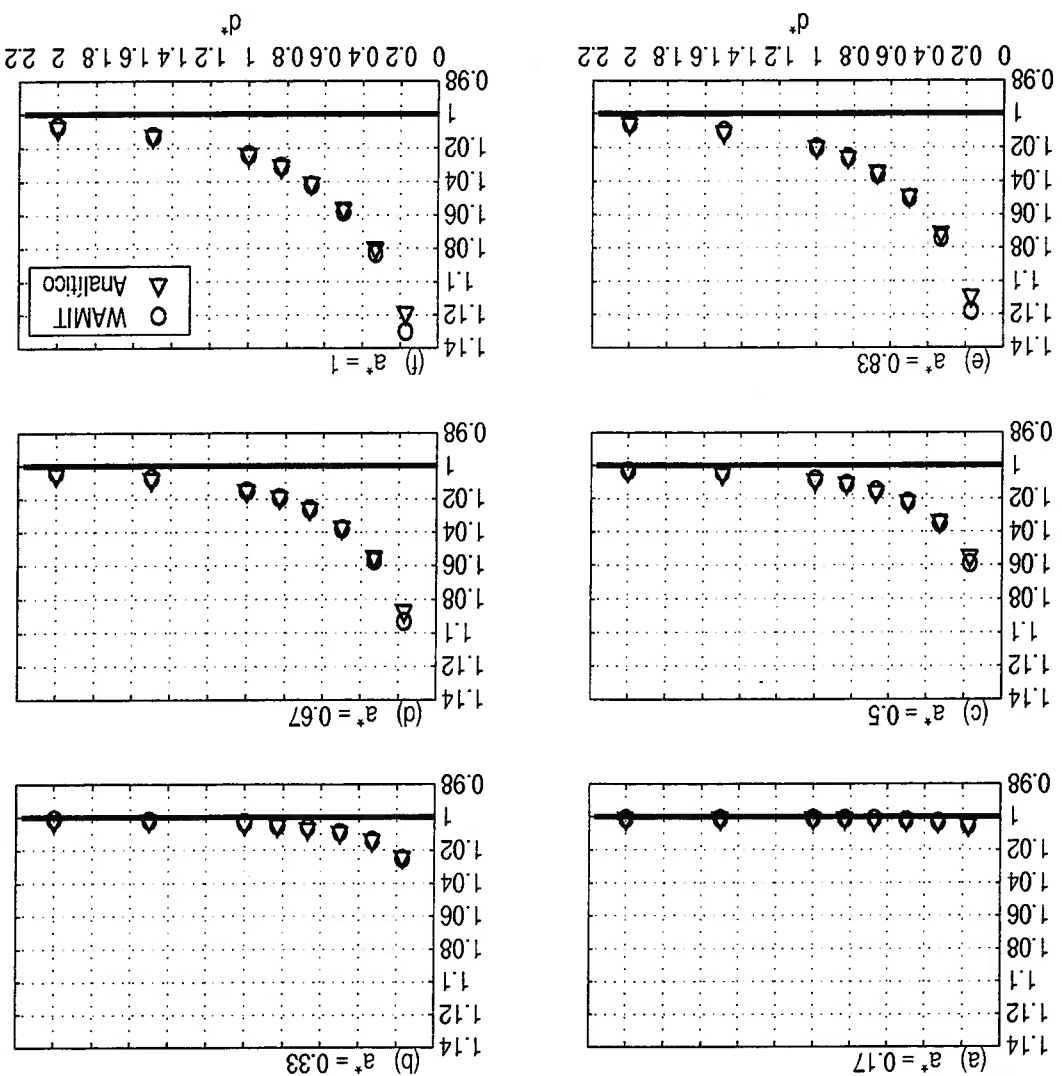


Figura 5.4: Im rica Adicional de Pitch -  $t_{on} \cdot m^2 \cdot a^* = \frac{a_a}{d_e}; d^* = \frac{a_a}{d}$

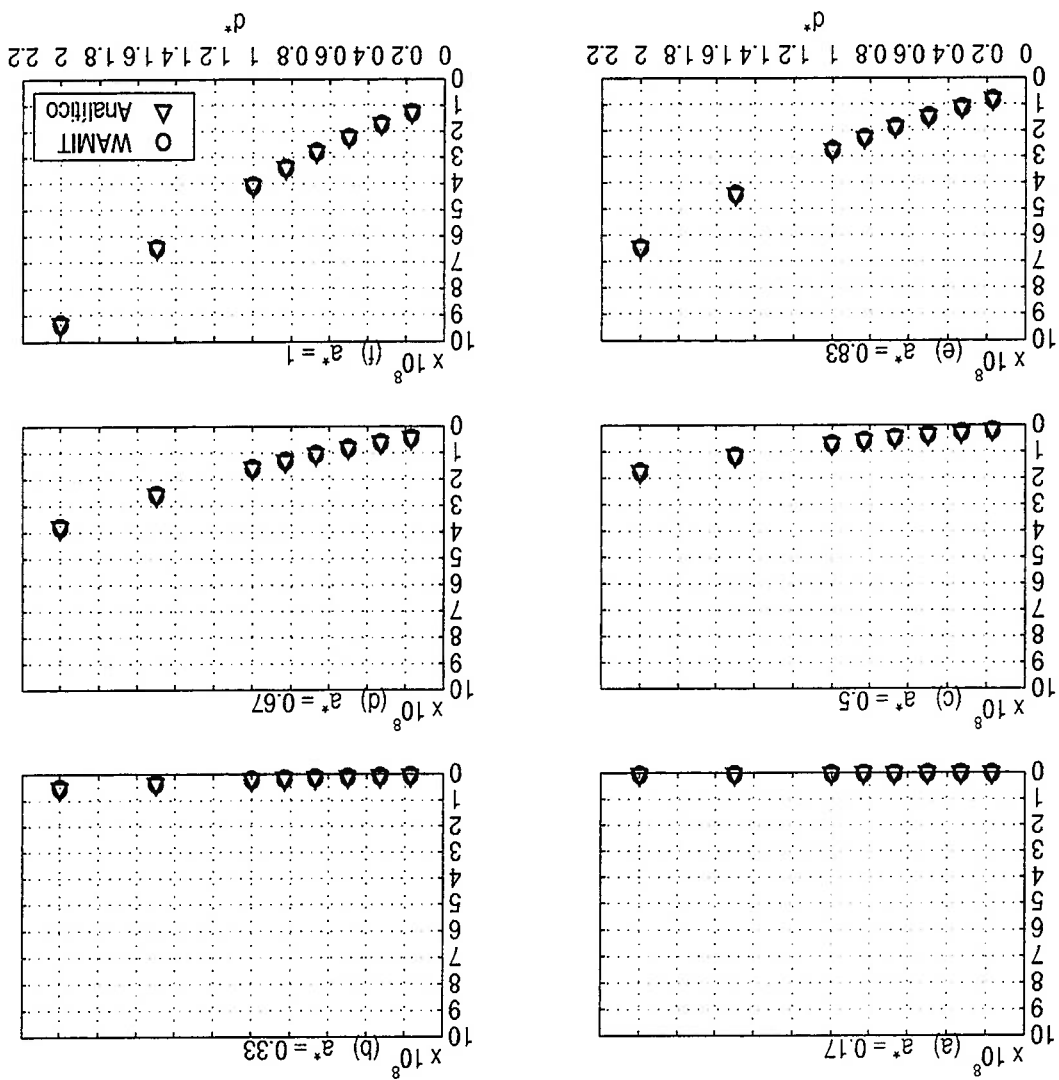
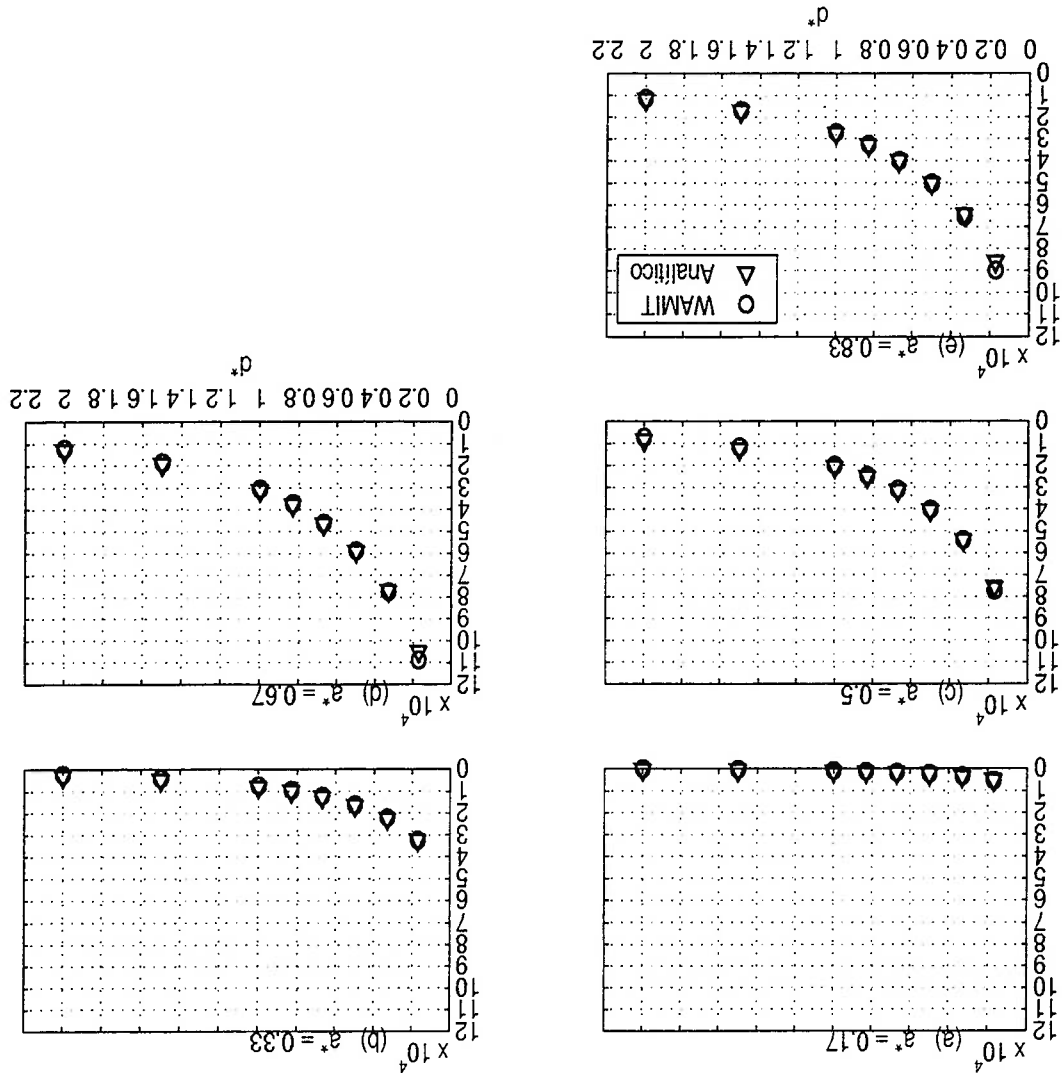


Figura 5.5: Imárcia Adicional de  $Suay-Yau - ton \cdot m^2 - a = \frac{a}{d^2}, d^* = \frac{a}{\alpha}$



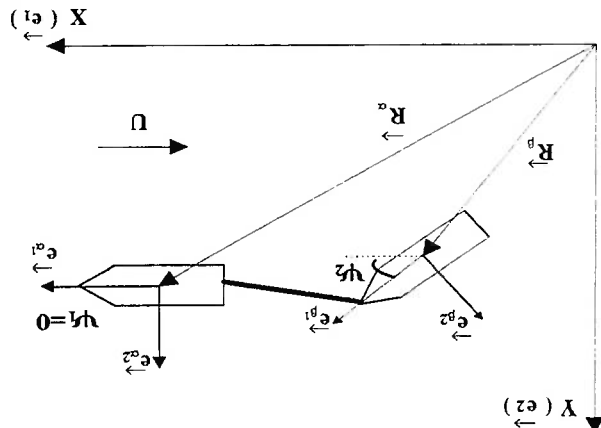
Emfim, a análise dos gráficos acima confirma a excelente aderência das expressões analíticas aos resultados do WAMIT® e portanto do Teorema 1 como uma aproximação para a parcella imberial da Energia Cinética de Interagção entre corpos, o que motiva a aplicação do mesmo para o cálculo da parcella das fórgas de interação no caso de dois navios em tandem, que será feita no próximo capítulo.

- $\beta : Aliviador(x_2, y_2, \phi_2)$

- $\alpha : FPSO(x_1, y_1, \phi_1)$

onde, para questões de nomenclatura, vale a dica de que as unidades os seguintes índices:

Figura 6.1: Navios em "tandem"



presso como na figura abaixo:

Esquematicamente, o sistema formado pelas duas embarcações pode ser expresso por um FPO e um navio Aliviador, ligados por um hauer. Como foi dito inicialmente na Introdução desse texto, um sistema tandem é composto por um FPO e um navio Aliviador, ligados por um hauer.

## Impacto da Interação na Dinâmica do Sistema

### Capítulo 6

$$X_a^i = \frac{d}{dt} \left( \frac{\partial x_i}{\partial \Delta^{ab}} \right) - \left( \frac{\partial x_i}{\partial t} \right)$$

- Força de Interagão de Surge

se as forças e o momento de Interagão Inerçial Hidrodinâmica:

Aplicando as equações de Lagrange à Energia Cinética de Interagão obtém-

(6.2)

$$\left. \begin{aligned} (m_a + A_{11})\ddot{u}_1 - (m_a + A_{22})\ddot{u}_1\phi_1 - (m_a x_a + A_{26})\ddot{\phi}_1 &= H_a^x + R_a^x + F_a^x + X_a^x \\ (m_a + A_{11})\ddot{u}_2 - (m_a + A_{22})\ddot{u}_2\phi_2 - (m_a x_a + A_{26})\ddot{\phi}_2 &= H_a^y + R_a^y + F_a^y + X_a^y \\ (m_a + A_{22})\ddot{u}_1 - (m_a + A_{11})\ddot{u}_1\phi_1 - (m_a x_a + A_{26})\ddot{\phi}_1 &= H_a^z + R_a^z + F_a^z + X_a^z \\ (m_a + A_{11})\ddot{u}_1 + (m_a x_a + A_{26})\ddot{\phi}_1 &= H_a^x + R_a^x + F_a^x + X_a^x \\ (m_a + A_{22})\ddot{u}_2 + (m_a x_a + A_{26})\ddot{\phi}_2 &= H_a^y + R_a^y + F_a^y + X_a^y \\ (m_a + A_{11})\ddot{u}_2 + (m_a x_a + A_{26})\ddot{\phi}_2 &= H_a^z + R_a^z + F_a^z + X_a^z \end{aligned} \right\}$$

seria acrescido de:

interagão que representa o acoplamento hidrodinâmico do conjunto, isto é, 6.1

há user implicam em acoplamentos dinâmicos), e são justamente as forças de

Nota-se que o sistema é desacoplado hidrodinamicamente (pois as forças no

nas direções de surge, sway e yaw das forças devido ao há user e amarragão.

onde  $H^x, H^y, H^z$  e  $R^x, R^y, R^z$ ,  $i = a, g$  são, respectivamente, as componentes

(6.1)

$$\left. \begin{aligned} (m_a + A_{11})\ddot{u}_1 + (m_a x_a + A_{26})\ddot{\phi}_1 &= H_a^x + R_a^x + F_a^x \\ (m_a + A_{22})\ddot{u}_2 + (m_a x_a + A_{26})\ddot{\phi}_2 &= H_a^y + R_a^y + F_a^y \\ (m_a + A_{11})\ddot{u}_2 + (m_a x_a + A_{26})\ddot{\phi}_2 &= H_a^z + R_a^z + F_a^z \end{aligned} \right\}$$

embrações, ou seja:

repetidamente, as equações 3.8 definidas no Capítulo 3, para cada uma das

plano horizontal no caso particular de uma correnteza nada mais é do que,

Desconsiderando-se a interagão hidrodinâmica, a dinâmica do sistema no

Não obstante as expressões 6.3 a 6.5 terem sido deduzidas para os dois níveis movendo-se livremente no plano, nas simulações o FPSO está ancorado por um

que as compõem.

No Apêndice B estão as deduções destas expressões e a definição de cada um dos termos

a, g são dados segundo Simos [14].

siderando apêndices forgas dividido a correnteza; para esse caso,  $F_x^i, F_y^i$  e  $N_z^i$ , i =

tema e sua estabilidade, formam feitas simulações no Simulink do MATLAB® con-

A fim de avaliar o impacto dos termos de interação sobre a dinâmica do sis-

nas expressões 6.3, 6.4 e 6.5, lembrando que  $F_{\alpha\beta}^g$  é uma matriz simétrica. 1

Para as expressões de  $X_g^{in}, Y_g^{in}$  e  $Z_g^{in}$ , basta substituir a por g e "1" por "2"

$$(6.5) \quad Z_a^{in} = p \left[ \frac{\partial \phi_i}{\partial C_a} \cdot \frac{dF_{\alpha\beta}}{dt} \chi_{BCB} + \chi_a \frac{\partial \phi_i}{\partial C_a} \cdot F_{\alpha\beta} \chi_B^{de} \frac{dc^e}{dt} - \chi_a \frac{\partial \phi_i}{\partial C_a} \cdot F_{\alpha\beta} \chi_{BCB} - \chi_a C_a \cdot \frac{\partial F_{\alpha\beta}}{\partial \phi_i} \chi_{BCB} \right]$$

$$Z_a^{in} = p \left( \frac{\partial \phi_i}{\partial \mathcal{W}^{ab}} \right) \frac{d}{dt}$$

• Momeno de Interagão de  $Y_a^{in}$

$$(6.4) \quad Y_a^{in} = p \left[ \frac{\partial \phi_i}{\partial C_a} \left( F_{\alpha\beta} \chi_{BCB} + \chi_a \frac{\partial \phi_i}{\partial C_a} \cdot F_{\alpha\beta} \chi_B^{de} \frac{dc^e}{dt} \right) - \chi_a C_a \cdot \frac{\partial F_{\alpha\beta}}{\partial \phi_i} \chi_{BCB} \right]$$

$$Y_a^{in} = p \left( \frac{\partial \phi_i}{\partial \mathcal{W}^{ab}} \right) \frac{d}{dt}$$

• Força de Interagão de  $Sway$

$$(6.3) \quad X_a^{in} = p \left[ \frac{\partial \phi_i}{\partial C_a} \left( F_{\alpha\beta} \chi_{BCB} + \chi_a \frac{\partial \phi_i}{\partial C_a} \cdot F_{\alpha\beta} \chi_B^{de} \frac{dc^e}{dt} \right) - \chi_a C_a \cdot \frac{\partial F_{\alpha\beta}}{\partial \phi_i} \chi_{BCB} \right]$$

2. Observação: Para todas as simulações, os eixos locais de cada embarcação encontravam-se em suas respectivas seções-mestras, e o eixo global do sistema coincidia com o local FPSO. Além disso, os aportamentos iniciais para o FPSO e Aliviador foram, respectivamente, de 15 graus.

As dimensões principais dos dois navios para as duas condições acima estão na tabela abaixo:

2. final da operação de offloading: VN a 40% de carregamento e Jurua a

100%.

1. início da operação de offloading: VN a 100% de carregamento e Jurua a

mento:

(VN) como FPSO e Jurua como Aliviador, para duas condições de carregamen-

to assim, foram realizadas simulações com os navios VLCC Vidal de Negreiros

sistema tandem através de altas velocidades de correnteza.

vizinhanças do ponto de bifurcação. Portanto "jogou-se" a instabilidade do

no sistema tandem também quando o mesmo é instável, principalmente nas

tengão do presente texto é avaliar o impacto da interação hidrodinâmica

muito acima dos valores centenários reais, explica-se pelo seguinte fato: a in-

4.7m/s. A escolha destes dois últimos valores de velocidade de correnteza,

Três velocidades de correnteza foram consideradas:  $U = 1.9 \text{ m/s}, 3.8 \text{ m/s}$  e

de modo que para as simulações a preocupaçāo maior foi com o navio Aliviador.

amarragāo, que geralmente velocidades e acelerações nas parcelas de interação,

e acarreta também que o FPSO tem seus movimentos reduzidos pelas forças de

sistema do tipo turrete. Este fato justifica a corrente unidirecional da figura 6.1,

Sendo  $\alpha$ , o comprimento do hausser, definiu-se o adimensionado  $\frac{L_1}{\alpha}$ , onde  $L_1$

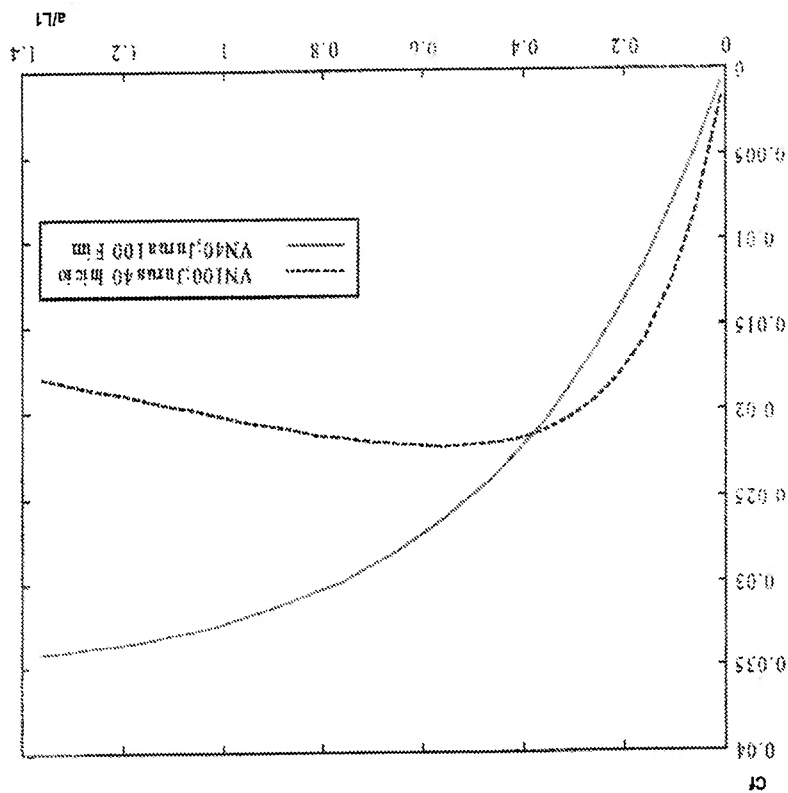
	FPSO 100%	Altivadour 40%	FPSO 40%	Altivadour 100%
Comp.(m)	320	260	320	260
Boca(m)	54.5	44.5	54.5	44.5
Calado(m)	21.47	6.44	8.63	16.1
Delsl.(ton)	3.2E+05	5.88E+03	1.26E+05	1.55E+05
$x_G(m)$	9.81	7.18	4.44	7.41
$A_{11}(\text{ton})$	1.9E+04	3.4E+03	4.03E+03	8.62E+03
$A_{22}(\text{ton})$	2.83E+05	5.12E+03	5.61E+04	1.32E+05
$A_{66}(\text{ton}\cdot\text{m}^2)$	1.66E+09	2.04E+08	3.43E+08	5.39E+08
$A_{26}(\text{ton}\cdot\text{m})$	3.39E+06	1.85E+05	1.64E+05	7.42E+05

Table 6.1: Níveis que compõem o sistema tandem da simulação

Sendo  $\alpha$ , o comprimento do hausser, definiu-se o adimensionado  $\frac{L_1}{\alpha}$ , onde  $L_1$  é o comprimento do FPSO, e, para cada velocidade de correnteza simulou-se o sistema para  $\frac{L_1}{\alpha}$  variando de 0.2 a 1.2, comparando (para cada combinação desses parâmetros) a porcentagem que a força de interagão intercial representa da respectiva força potencial (lado esquerdo do sistema 6.2), e o efeito que aquelas causam na estabilidade do sistema, tendo como critério o gráfico da figura abaixo:

causavam algum deslocamento do mesmo. bifurcagão foram conduzidas para verificar se as parcelas de intercâmbio abaiixo da curva é a região INSTAVEL. Assim, simulações em torno do ponto de vaas, a região acima da mesma é a região ESTAVEL do sistema; obviamente, da operação de offloading e limha cheia para o fm. Para cada uma das curvas, a condição de carregamento consideradas acima: limha tracionada para o início (segundo formula da ITTC), e no gráfico estão plotadas as curvas para as duas formas o comprimento adimensionado do hauler e o Coeficiente Frictional sistema 6.1, ou seja, sem intercâmbio. Os parâmetros de bifurcagão considerados Esta figura é o gráfico de estabilidade, segundo o critério de Hurwitz, do

Figura 6.2: Estabilidade do sistema tandem sem intercâmbio



3Por o sistema ser estável, essa situação, sob o ponto de vista prático, não seria preocupante.

se anulavam:

aquele das forças de interação, desde o início ( $t = 0$ ) até o instante em que estavam damente que as potenciais, o intervalo de tempo considerado para a análise foi transiente das forças, e como as parcelas de interação deciam muito mais rápida os valores dos gráficos para esta situação são correspondentes ao regime entrado estável para todas as velocidades e comprimentos de hawser. 3

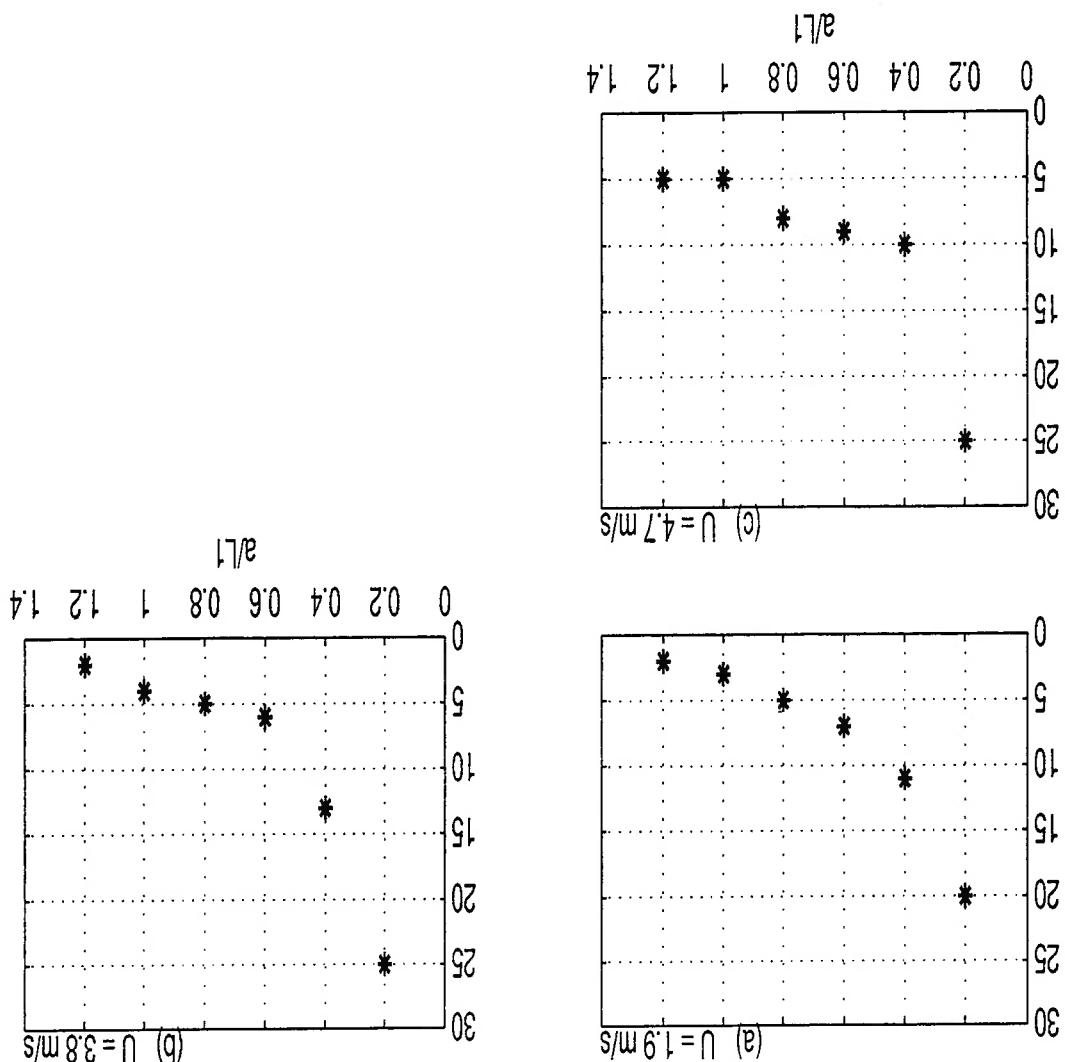
0.0462; 0.0396 e 0.0378, de modo que, segundo a Fig. 6.2, o sistema é originalmente 1.9; 3.8 e 4.7 m/s aceleram Coeficientes Frictionais de, respectivamente, e juntar 40%. Nesta condição de carregamento, as velocidades de correnteza respondente potencial para o início da operação de offloading, isto é, VN 100% A figura abaixo mostra a variação (em %) da força de surge em relação à cor-

0.0462; 0.0396 e 0.0378, de modo que, segundo a Fig. 6.2, o sistema é originalmente 1.9; 3.8 e 4.7 m/s aceleram Coeficientes Frictionais de, respectivamente, e juntar 40%. Nesta condição de carregamento, as velocidades de correnteza respondente potencial para o início da operação de offloading, isto é, VN 100%

$\frac{a}{L_1} = 1.2$  foi o dízimo dos gráficos anteriores: 4.6%.  
 nálo se vertical, e, embora seja uma contribuição muito pequena, o mínimo para  
 aproximaadamente pela metade. Para  $U = 4.7 \text{ m/s}$  este último comportamento  
 dem de 2% para  $\frac{a}{L_1} = 1.2$ , e quando o comprimento do hastes dobrado a forga cai  
 curvas: contribuição máxima da ordem de 20% para  $\frac{a}{L_1} = 0.2$  e mínima da or-  
 2%. Para  $U = 1.9 \text{ e } 3.8 \text{ m/s}$ , nota-se que houve um comportamento similar das  
 casos a contribuição da forga de suay é do momento de suay foram menores que  
 A figura mostra apenes as forgas de suay de suage, pois em todos os

- Mídia da operação de offloading

Figura 6.3: Força de Interagão Intercrial de Surge / Força Potencial de Surge (%)



A proxima figura mostra os resultados para o fm da operação de offloading. Nessa condição de operação, segundo a Fig. 6.2, o sistema inicialmente é, quando  $U = 1.9 \text{ m/s}$ , ESTAVEL para  $\frac{a}{L_1}$  de 0.2 a 0.6, e INSTAVEL para os demais valores. Para  $U = 3.8 \text{ e } 4.7 \text{ m/s}$  o sistema é ESTAVEL apenas para os casos instáveis, a porcentagem das parcelas de interação em relação às correspondentes potenciais mostaram-se todas menores que 0.5% em regime, de modo que para os gráficos foi novamente considerado o período transiente destas forças (anterior ao regime), novamente considerando o intervalo de tempo das parcelas de interação:

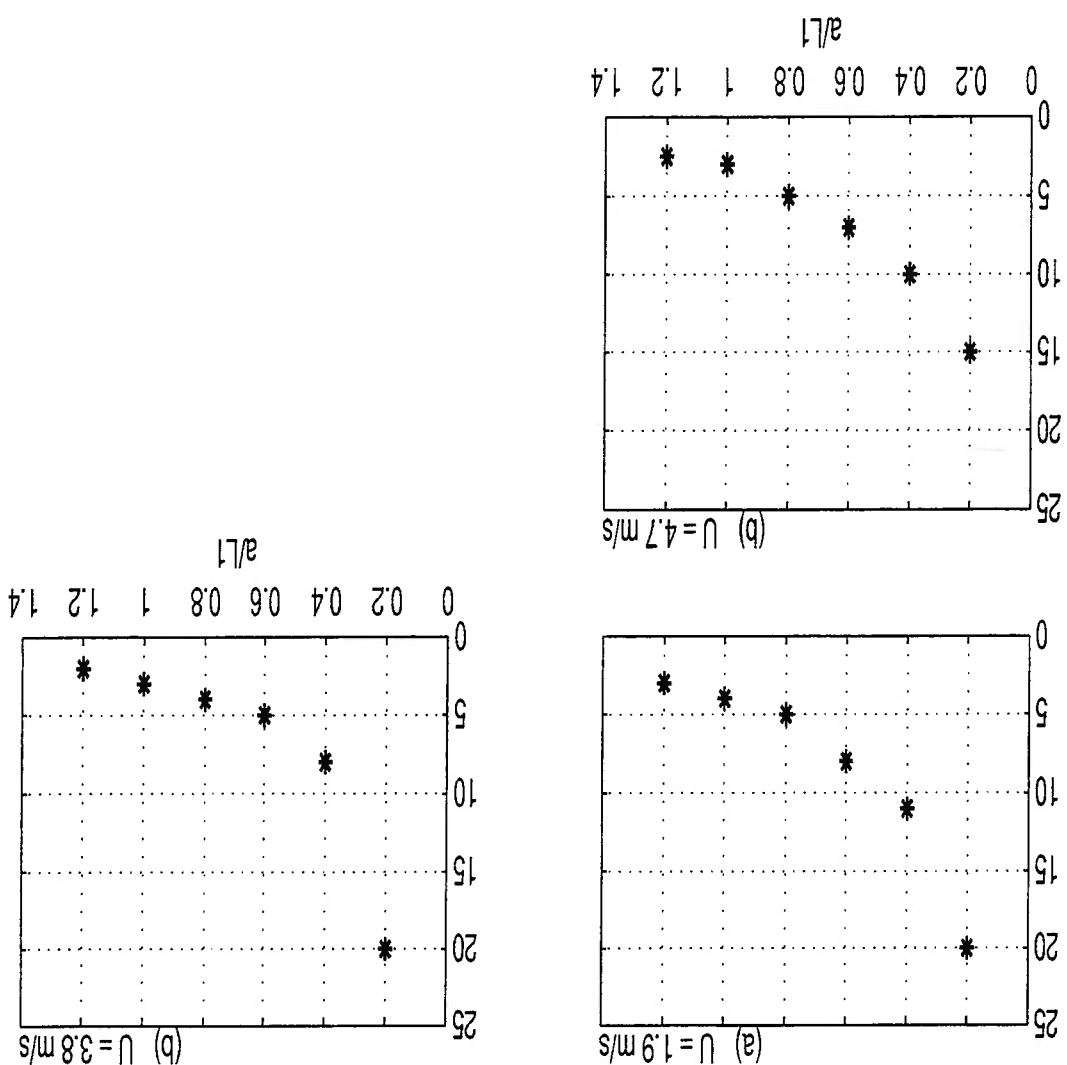
$$\frac{a}{L_1} = 0.2.$$

sim maís preocupaute sob o ponto de vista prático, as contribuições das parcelas Nota-se também que, para as situações às quais o sistema é INSTAVEL, esta proporcionalidade com respeito ao comprimento do hauzer.

2% para  $\frac{a}{L_1} = 1.2$  para as três velocidades de correnteza, além da relação de tribuições máximas por volta de 20% para  $\frac{a}{L_1} = 0.2$  e mínimas da ordem de offloading, entretanto com uma maior homogeneidade, pois todas tem comportamento que aquelas obtidas para o início da operação de offloading, entre elas aquela que apresenta o mesmo padrão de comportamento que aquela obtida para o início da operação de offloading.

Para esta condição de carregamento a figura acima apresenta o mesmo

Figura 6.4: Força de Interagão Intercrial de Surge / Força Potencial de Surge (%)  
- Final da operação de offloading



furcagão da Fig. 6.2.

Além disso, tendo as forças de interação mercial as ordens de grandeza mostreadas pelas simulações, não houve qualquer mudança dos pontos de bimulacrum.

Enfim, o que se percebe das figuras acima é que somente no movimento o impacto da interação mercial na dinâmica do sistema também é praticamente nulo.

Além do fato de que, na prática o navio Alviador é mantido tracionado pela popa por um navio rebocador, o que torna o sistema ainda mais estável; ou seja, mesmo assim por um período pequeno de tempo (regime transitório de forças), resultado próximo (e coerente) com aquele obtido no Capítulo 5 para as esferas, surge a interação e mais pronunciada - ordem de 20% da força potencial,

intercias.

Na figura 6.2, ou seja, para as velocidades de 1.9 m/s, menores que 5%, e menores que 10% para as demais velocidades. Isto acontece porque, pela Fig. 6.2, o sistema é instável para grandes valores de  $\frac{L}{d}$ , ou seja, para grandes distâncias entre as embarcações, e o efeito de interação hidrodinâmica diminui com a distância. Como no caso anterior (início do offloading), a força de suay é o momento de inércia da massa de 2% em relação às respectivas parcelas potenciais. A suay formam menores que 2% em relação às respectivas parcelas potenciais. Assim, é o caso de interação hidrodinâmica diminuir com a distância entre as embarcações, e o efeito de interação hidrodinâmica diminuir com a distância.

que 10% para as demais velocidades. Isto acontece porque, pela Fig. 6.2, o sistema é instável para grandes valores de  $\frac{L}{d}$ , ou seja, para grandes distâncias entre as embarcações, e o efeito de interação hidrodinâmica diminui com a distância.

bastante adequados.

mos de interagão imerical, o que pela validagão numerica feita mostras-se através de um princípio variacional, acrescentou-se à Lagrangeana original ter, as equações do movimento do mesmo através das Equações de Lagrange. E, Também foi visto que, tendo-se a Lagrangeana do sistema, é possível obter ser tomadas no caso de alguma eventualidade.

mental importância no que tangue à segurança da operação, e medidas podem adicionais. Entao conhecer a dinâmica do sistema nessa situação é de fundamental importância, havendo a parcela imerical das forças, isto é, aquela devida às massas técnicas, que ainda a parcela imerical das forças, isto é, aquela devida às massas (ondas, principalmente movimentos de seçãondaria ordem); dentro das forças hidrodinâmica se reflete nas forças viscosas (correntezas e vento) e potenciais ou que certamente afeta o comportamento da primeira no mar. Essa interação uso, reduzir a pressão de outra embarcação, que sempre do mesmo porte, armazenamento destas embarcações, o que por um lado impulsionou seu próprio manejo do sistema durante a operação de offloading, visto que a capacidade de cada vez maiores profundidades, levantada questões a respeito do comportamento das indústrias exploradoras de petróleo, motivados por explorações antigos pelos industriais exploradores de petróleo, motivados por explorações

O uso cada vez mais frequente de FPSOs convertidos a partir de petroleiros

## Conclusões e Sugestões de Trabalhos Futuros

### Capítulo 7

sistema turrete sujetos ao fenômeno de "clashing" (tique metálico entre mísseis), aplicações podem ser estudadas, como por exemplo, o conjunto de regras de um mostrado relevantes para o problema particular de navios em tandem, outras embora os resultados das expressões variacionais desse texto não tenham mesmo na estabilidade do sistema.

ainda mais estável, de modo que não há impacto na dinâmica do sistema, nem mantido tracionado pela popa por um navio rebocador, o que torna o sistema a própria forga de correntezas, ainda mais por que a prática o navio Aliviador é envolvidas no sistema, como a forga potencial (lado esquerdo do sistema 6.2) e foi que a magnitude das forças de interação é muito menor que as outras forças interagão inercial relevantes apenas para pequenas distâncias entre os corpos, com os encontados para as esferas e também por Tiegien [18], ou seja, forças de de hausser, e o que se conclui, não obstante os resultados estéjam coerentes para dois navios em tandem para alguns valores de correntezas e comprimento rema I, motivadas pela excelente aderência numérica, foram feitas simulações Como aplicação mais direta das expressões de interação que compõem o Teo-mentares.

que esta não é uma tarefa fácil para corpos de geometrias diferentes dos elas de massas adicionais dos corpos isolados, como o WAMIT®, por exemplo, já complicadas, torna-se indispensável o uso de uma ferramenta precisa de cálculo para as aplicações do presente texto. Porém, nestes casos de geometrias mais que é nela que está a essência da interação hidrodinâmica inercial), descrevendo superior tanto na expansão de  $\phi$ , como também na matriz de interação  $F_{ab}$  (já para o caso de geometrias mais complicadas, considerando de termos de ordenamento a solução analítica do potencial de velocidades para a esfera. Entao, sugere-se, considerada de modo que se compõesse como dipolo no infinito, e o dipolo é para o caso de simples esferas sejam muito satisfatórios, pois a função  $\phi$  é Entretanto, pela dedução das propriedades expressões, é natural que os resultados

Para uma modelagem mais precisa, dentro da Teoria Potencial (porque há ainda a parcela devida à viscosidade, o chamado *Efeito de Sombra ou Esterra*) far-se-ia necessário incluir nas expressões variacionais efeitos de superfície livre, ou seja, radiação e difração de ondas, principalmente os termos de segundo orden desse possivelmente capaz de confirmar, por exemplo, os resultados encontrados por Pimkster [12] para a estabilidade do sistema.

Ensaios com modelos em escala reduzida também poderiam ser realizados, a fim de se ter também uma validação experimental de massas adicionais e coe-hicientes de força para corpos com geometria diferente das formas elementares (esferas, cilindros e caixas retangulares), como por exemplo níveis em tandem,

ou plataformas, ou combinações destes, já que na dedução do **Teorema I** não foram feitas considerações a respeito da forma dos corpos: necessita-se apenas de suas massas adicionais isoladas.

alem do fato do Teorema 1 ser uma primeira tentativa de se expressar as forças de interação hidrodinâmica, mesmo que apenas uma parcela delas (a inertial), assimétrica e baseada sob o aspecto teórico e científico, possivelmente. Isto é bastante válido sob o aspecto teórico e científico, pois nos dá uma ideia primária da dificuldade envolvida no processo e, segundo, nos mostra como é a "identidade" destas funções, isto é, como elas são, o compõem- tamente delas, e o que se pode esperar à medida em que se avança na análise

- [1] Aranha, J.A.P.; Pesce, C.P., *A variational method for water wave radiation and diffraction problems*, Journal of Fluid Mechanics, vol. 204, 1989, pp.135.
- [2] Bender, C.M.; Orzag, S.A., *Advanced Mathematical Methods for Scientists and Engineers*, McGraw-Hill, International Series in Pure and Applied Mathematics, 1978.
- [3] Kolmogorov, A.N.; Fomin, S.V., *Elements of the theory of functional analysis (Spanish)*, Third Edition, Mir, Moscow, 1978.
- [4] Gelfand, I.M.; Fomin, S.V., *Calculus of Variations*, Prentice-Hall: England, Wood Cliffs, NJ, 1963.
- [5] Lamb, H., *Hydrodynamics*, 6th edition, Dover, New York, 1932.
- [6] Lee, Dong H.; Choi, H.S., *A dynamic analysis of FPSO-Shuttle tanker systems*, Proceedings da ISOPE2000.
- [7] Lete, A.J.P.; Forgas de corrente em petroleiros e bifeiração do equilíbrio em sistemas tipo turret, Dissertação (Mestrado) - Escola Politécnica, Universidade de São Paulo, São Paulo, 1997.
- [8] Mattheai, T., *Use of generalized modes in hydrodynamics analysis of multiple bodies*, Proceedings da ISOPE2000.

## Bibliografia

da ISOPE2000.

[18] Teiguen, P., *Numerical aspects of multiple body hydrodynamics*, Proceedings

nal of Ship Research, 2000

stability of a Moored FPSO: Theoretical Prediction and Experiments, Jour-

[17] Tannuri, E.A.; Simos, A.N.; Leite, A.J.P.; Aranha, J.A.P., *Fish tailing In-*

[16] Spiegel, M.R., *Variáveis Complexas*, McGraw-Hill, 1973.

ematical Society, 1963.

*Physics*, Translation of Mathematical Monographs, vol. 7, American Mathe-

[15] Sobolev, S.L., *Applications of Functional Analysis in Mathematical*

*Current Action*, Journal of Ship Research, 2000

*Hydrodynamic Model for the Dynamic Analysis of a Moored FSO under*

[14] Simos, A.N.; Tannuri, E.A.; Pesce, C.P.; Aranha, J.A.P., *A Quasi - Explicit*

2000 (Submitted).

*mated equations for many body systems*, Journal of Applied Mathematics,

[13] Ragaazzo, C.G., *On the motion of solids through an ideal liquid: approxi-*

ISOPE1995.

[12] Pinkster, J.A., *Hydrodynamic interaction effects in waves*, Proceedings da

Doutorado, Escola Politécnica da Universidade de São Paulo, 1988.

*um enjoque variacional e aplicações da teoria do corpo esbelto*, These de

[11] Pesce, C.P., *Estudo do comportamento de corpos flutuantes em ondas:*

[10] Newman, J.N., *Marine Hydrodynamics*, MIT Press, 1976.

Appl. Ocean Res. 1, 1979, pp. 197-202.

[9] Molin, B., *Second order diffraction loads upon three-dimensional bodies*,

## BIBLIOGRAFIA

[19] Troutman, J.L., *Variational Calculus and Optimal Control*, Springer-

Verlag, 1996.

[20] WAMIT, *A radiation-diffraction panel program for wave-body interactions*,

Massachusetts Institute of Technology, 1993.

$$R_{\alpha g} = R_g - R_\alpha = l_g e_i - (-l_\alpha e_i) = (l_\alpha + l_g) e_i = l e_i$$

Sendo, nesse caso,  $T_\alpha = T_g = \mathbb{I}$ , então  $F_{\alpha g} = G_{\alpha g}$ . Além disso

$$\chi_{\alpha c} = \begin{bmatrix} 2\pi a_3^3 w_\alpha \\ 2\pi a_3^3 u_\alpha \\ 2\pi a_3^3 u_g \\ 2\pi a_3^3 w_g \end{bmatrix}; \chi_{g c} = \begin{bmatrix} 2\pi a_3^3 w_\alpha \\ 2\pi a_3^3 u_\alpha \\ 2\pi a_3^3 u_g \\ 2\pi a_3^3 w_g \end{bmatrix}$$

e portanto

$$\chi_\alpha = \begin{bmatrix} 0 & 0 & 2\pi a_3^3 & 0 \\ 0 & 2\pi a_3^3 & 0 & 2\pi a_3^3 \\ 2\pi a_3^3 & 0 & 0 & 2\pi a_3^3 \\ 0 & 2\pi a_3^3 & 0 & 0 \end{bmatrix}; \chi_g = \begin{bmatrix} 0 & 0 & 2\pi a_3^3 & 0 \\ 0 & 2\pi a_3^3 & 0 & 2\pi a_3^3 \\ 2\pi a_3^3 & 0 & 0 & 2\pi a_3^3 \\ 0 & 2\pi a_3^3 & 0 & 0 \end{bmatrix}$$

Pela definição da matriz  $\chi_\alpha$  no Capítulo 4 segue que

$$c_\alpha = \begin{bmatrix} u_\alpha \\ u_\alpha \\ u_\alpha \\ u_\alpha \end{bmatrix}; c_g = \begin{bmatrix} w_g \\ w_g \\ w_g \\ w_g \end{bmatrix}; A_{ii}^i = A_{i1}^i = A_{i2}^i = A_{i3}^i = \frac{3}{2} \pi r a_3^3 \quad i = \alpha, g \quad (\text{A.2})$$

onde

$$+ \frac{2}{l} [\chi_{\alpha c} \cdot F_{\alpha g} \chi_{g c} + \chi_{g c} \cdot F_{g a} \chi_{\alpha c}] \quad (\text{A.1})$$

$$\frac{2}{l} \int_A \|\Delta \Phi\|^2 dA = \frac{2}{l} [A_{11} u_\alpha^2 + A_{22} u_\alpha^2 + A_{33} w_\alpha^2 + A_{11} u_g^2 + A_{22} u_g^2 + A_{33} w_g^2]$$

diz que:

Para as duas esferas  $a$  e  $g$  rigidamente ligadas do Capítulo 5 o Teorema 1

## A.1 Dedução das expressões do Capítulo 5

# Appendice A

$$\begin{aligned}
& M_{26} V_2 U_3 + \frac{2}{1} M_{66} U_3^3 + M_{35} V_3 U_2 + \frac{2}{1} M_{55} U_2^2 \\
& + \frac{3}{1} p_{\alpha\beta} u_3 l_2 + \frac{3}{1} p_{\alpha\beta} u_3 l_2 - \frac{l_3}{l_3} p_{\alpha\beta} u_3 l_2 \left( U_2 = \frac{2}{1} M_{11} V_2 + \frac{2}{1} M_{22} V_2 + \frac{1}{1} M_{33} V_2 + \right) \\
& \frac{3}{1} p_{\alpha\beta} u_3 l_2 + \frac{3}{1} p_{\alpha\beta} u_3 l_2 - \frac{l_3}{l_3} p_{\alpha\beta} u_3 l_2 \left( U_2 + \frac{3}{2} p_{\alpha\beta} u_3 l_2 - \frac{3}{2} p_{\alpha\beta} u_3 l_2 - \frac{l_3}{l_3} p_{\alpha\beta} u_3 l_2 \left( l_2 - l_3 \right) \right) \\
& \left( \frac{3}{1} p_{\alpha\beta} u_3 + \frac{3}{1} p_{\alpha\beta} u_3 + \frac{l_3}{l_3} p_{\alpha\beta} u_3 \right) V_2 + \left( \frac{3}{2} p_{\alpha\beta} u_3 - \frac{3}{2} p_{\alpha\beta} u_3 + \frac{l_3}{l_3} p_{\alpha\beta} u_3 \left( l_2 - l_3 \right) \right) V_2 U_3 + \\
& \frac{2}{2} \int_A \| \Delta \Phi \|^2 dA = A \left( \frac{3}{1} p_{\alpha\beta} u_3 + \frac{3}{1} p_{\alpha\beta} u_3 + \frac{l_3}{l_3} p_{\alpha\beta} u_3 + \frac{l_3}{l_3} p_{\alpha\beta} u_3 \right) V_2 + \left( \frac{3}{1} p_{\alpha\beta} u_3 + \frac{3}{1} p_{\alpha\beta} u_3 + \frac{l_3}{l_3} p_{\alpha\beta} u_3 \right) V_2 +
\end{aligned}$$

E, substituindo esses valores em A.3 vemos:

$$w^\alpha = V_3 + U_2 l_\beta \quad w_\beta = V_3 - U_2 l_\alpha$$

$$u^\beta = V_2 + U_3 l_\alpha \quad u_\alpha = V_2 - U_3 l_\beta$$

$$u_\beta = V_1 \quad u^\alpha = V_1$$

Desse modo:

$$c_B = V_1 e_1 + (V_2 + U_3 l_\beta) e_2 + (V_3 - U_2 l_\alpha) e_3,$$

$$c_\alpha = V_1 e_1 + (V_2 - U_3 l_\alpha) e_2 + (V_3 + U_2 l_\beta) e_3$$

$$c_B = V_1 + U_1 \nabla R_B = V_1 e_1 + V_2 e_2 + V_3 e_3 + (U_1 e_1 + U_2 e_2 + U_3 e_3 \nabla l_\beta e_1)$$

$$c_\alpha = V_1 + U_1 \nabla R_\alpha = V_1 e_1 + V_2 e_2 + V_3 e_3 + (U_1 e_1 + U_2 e_2 + U_3 e_3 \nabla -l_\alpha e_1)$$

Como as esferas estão rigidamente ligadas:

$$(A.3) \quad - \frac{l_3}{l_3} u_\alpha u_\beta + \frac{l_3}{l_3} u_\alpha u_\beta + \frac{l_3}{l_3} u_\alpha u_\beta - 2 p_{\alpha\beta} u_3$$

$$\frac{2}{2} \int_A \| \Delta \Phi \|^2 dA = \frac{3}{1} p_{\alpha\beta} u_2^2 + \frac{3}{1} p_{\alpha\beta} u_2^2 + \frac{3}{1} p_{\alpha\beta} u_2^2 + \frac{3}{1} p_{\alpha\beta} u_2^2 + \frac{3}{1} p_{\alpha\beta} u_2^2$$

Substituindo as matrizes acima na expressão A.1 vemos:

$$É fácil verificar que F_B^\alpha = F_B^\alpha.$$

$$F_B^\alpha = \begin{bmatrix} 0 & 0 & 1/4/\pi l_3 \\ 0 & 1/4/\pi l_3 & 0 \\ -1/2\pi l_3 & 0 & 0 \end{bmatrix}$$

e então, de 4.24:

$$l \frac{\frac{\partial}{\partial l} a^a + \frac{\partial}{\partial g} a^g}{a^3} = l^a \quad ; \quad l \frac{\frac{\partial}{\partial l} a^g + \frac{\partial}{\partial g} a^a}{a^3} = l^g$$

Como  $l^a + l^g = l$  segue que:

$$\begin{aligned} l \frac{\frac{\partial}{\partial l} a^a + \frac{\partial}{\partial g} a^g}{a^3} = l^a &\Leftrightarrow 0 = \frac{\frac{4}{3} \pi a^3 + \frac{4}{3} \pi a^g}{\frac{4}{3} \pi a^3 (-l^a) + \frac{4}{3} \pi a^g (l^g)} \\ 0 = \frac{\frac{\partial}{\partial x} \Delta + \frac{\partial}{\partial g} \Delta}{\frac{\partial}{\partial x} \Delta + \frac{\partial}{\partial g} \Delta} &= x \end{aligned}$$

formado pelas duas esferas:

Se o eixo global de coordenadas estiver no centro de volume do sistema

$$\frac{1}{2} M_{55} = \left( \frac{3}{1} \pi r a^3 l^a + \frac{3}{1} \pi r a^3 l^g - \frac{l^3}{l^3} \right) l^a l^g \quad (\text{A.10})$$

$$M_{35} = \left( \frac{3}{2} \pi r a^3 l^a - \frac{3}{2} \pi r a^3 l^g - \frac{l^3}{l^3} \right) l^a - l^g \quad (\text{A.9})$$

$$\frac{1}{2} M_{66} = \left( \frac{3}{1} \pi r a^3 l^a + \frac{3}{1} \pi r a^3 l^g - \frac{l^3}{l^3} \right) l^a l^g \quad (\text{A.8})$$

$$M_{26} = \left( (l^a - l^g) \frac{l^3}{l^3} + \frac{3}{2} \pi r a^3 l^a - \frac{3}{2} \pi r a^3 l^g \right) \quad (\text{A.7})$$

$$\frac{1}{2} M_{33} = \left( \frac{3}{1} \pi r a^3 + \frac{3}{1} \pi r a^3 + \frac{l^3}{l^3} \right) \quad (\text{A.6})$$

$$\frac{1}{2} M_{22} = \left( \frac{3}{1} \pi r a^3 + \frac{3}{1} \pi r a^3 + \frac{l^3}{l^3} \right) \quad (\text{A.5})$$

$$\frac{1}{2} M_{11} = \left( \frac{l^3}{2 \pi r a^3 a^3} - \frac{3}{1} \pi r a^3 + \frac{3}{1} \pi r a^3 \right) \quad (\text{A.4})$$

Portanto, por analogia:

Fimamente, levando estes valores nas expressões A.4 a A.10 vemos:

$$M_{11} = \frac{3}{2} p_{\alpha\beta} \left[ \frac{\ell_3}{a_3^2 a_6^3} - 6 \frac{a_3^2 + a_6^2}{a_3^3 a_6^3} \right] \quad (\text{A.11})$$

$$M_{22} = M_{33} = \frac{3}{2} p_{\alpha\beta} \left[ a_3^2 + a_6^2 + 3 \frac{\ell_3}{a_3^2 a_6^3} \right] \quad (\text{A.12})$$

$$M_{55} = M_{66} = \frac{3}{2} p_{\alpha\beta} \left[ a_3^2 + a_6^2 - 3 \frac{\ell_3}{a_3^2 a_6^2} \right] \quad (\text{A.13})$$

$$M_{26} = -M_{35} = p_{\alpha\beta} \left[ \frac{a_3^2 + a_6^2}{a_3^3 a_6^3} \right] \quad (\text{A.14})$$

$$\frac{\partial \mathbb{W}^{\alpha\beta}}{\partial F^{\alpha\beta}} = \frac{\partial}{\partial} \left[ p(\chi^{\alpha}{}_{ca} \cdot F^{\alpha\beta} \chi^{\beta}{}_{cb}) \right] = p(\chi^{\alpha}{}_{ca} \cdot F^{\alpha\beta} \chi^{\beta}{}_{cb})$$

Por outro lado,

$$\left[ \frac{\partial \mathbb{W}^{\alpha\beta}}{\partial F^{\alpha\beta}} \cdot F^{\alpha\beta} \chi^{\beta}{}_{cb} + \chi^{\alpha} \frac{\partial \mathbb{W}^{\alpha\beta}}{\partial F^{\alpha\beta}} \cdot dF^{\alpha\beta} \chi^{\beta}{}_{cb} \right] = \left( \frac{d \chi^{\alpha}{}_{ca}}{dt} \right) \frac{\partial \mathbb{W}^{\alpha\beta}}{\partial F^{\alpha\beta}}$$

então

$$0 = \frac{\partial \mathbb{W}^{\alpha\beta}}{\partial F^{\alpha\beta}}$$

Como

$$\left[ \frac{\partial \mathbb{W}^{\alpha\beta}}{\partial F^{\alpha\beta}} \cdot F^{\alpha\beta} \chi^{\beta}{}_{cb} + \chi^{\alpha} \frac{\partial \mathbb{W}^{\alpha\beta}}{\partial F^{\alpha\beta}} \cdot \frac{\partial \chi^{\beta}{}_{cb}}{\partial F^{\alpha\beta}} \right] = p(\chi^{\alpha}{}_{ca} \cdot F^{\alpha\beta} \chi^{\beta}{}_{cb})$$

que é a força de interação do surge do sistema. Então, primeiramente:

$$X^{\alpha}_{\mu} = \left( \frac{d \chi^{\alpha}{}_{ca}}{dt} \right) \frac{\partial \mathbb{W}^{\alpha\beta}}{\partial F^{\alpha\beta}}$$

tem-se, pelas equações de Lagrange, para o FPSO:

$$\mathbb{W}^{\alpha\beta} = p(\chi^{\alpha}{}_{ca} \cdot F^{\alpha\beta} \chi^{\beta}{}_{cb})$$

e que a energia cinética de interação é dada por

- $\mathcal{E} : Aliuiaador(x_2, y_2, \phi_2)$

- $\alpha : FPSO(x_1, y_1, \phi_1)$

Recordando do Capítulo 6 os índices

## B.1 Dedução das expressões do Capítulo 6

# Apendice B

$$Y_{in}^a = p \left[ \frac{\partial y_i}{\partial t} \cdot F_{ab} Y_{bc} + Y_a \frac{\partial y_i}{\partial c} \cdot dF_{ab} \right] + \frac{\partial y_i}{\partial c} \cdot F_{ab} Y_{ac}$$

Portanto

$$\frac{\partial y_i}{\partial c^i} = 0; \quad i = a, b$$

pois, novamente

$$\frac{\partial y_i}{\partial t} \cdot (Y_a C_a \cdot F_{ab} Y_{bc}) = p \frac{\partial y_i}{\partial t} \cdot Y_a C_a \cdot \frac{\partial F_{ab}}{\partial t}$$

Para o segundo termo vêm

$$\left[ \frac{\partial y_i}{\partial t} \cdot F_{ab} \frac{\partial C_a}{\partial c^i} \cdot dF_{ab} \right] = p \left[ \frac{\partial y_i}{\partial t} \cdot F_{ab} Y_{bc} + Y_a \frac{\partial y_i}{\partial c} \cdot F_{ab} \frac{\partial C_a}{\partial c^i} \right]$$

de modo que

$$0 = \frac{\partial y_i}{\partial F_{ab}}$$

Da mesma maneira

$$\frac{\partial y_i}{\partial t} \cdot (Y_a C_a \cdot F_{ab} Y_{bc}) = p \frac{\partial y_i}{\partial t} \cdot Y_a C_a \cdot \frac{\partial F_{ab}}{\partial t}$$

Novamente:

$$\frac{\partial y_i}{\partial t} - \left( \frac{\partial y_i}{\partial t} \right) \frac{dt}{d} = Y_{in}^a$$

Procedendo da maneira análoga para a forma de interação de suave:

$$-Y_a \frac{\partial x_i}{\partial C_a} \cdot F_{ab} Y_{bc} + Y_a C_a \cdot \frac{\partial F_{ab}}{\partial C_b} \quad (B.1)$$

$$Y_{in}^a = p \left[ \frac{\partial x_i}{\partial t} \cdot F_{ab} Y_{bc} + Y_a \frac{\partial x_i}{\partial c} \cdot dF_{ab} \right] + \frac{\partial x_i}{\partial c} \cdot F_{ab} Y_{ac}$$

Então como resultado para a forma de interação de suave do sistema vêm:

$$\frac{\partial x_i}{\partial c^i} = 0; \quad i = a, b$$

já que

$$+ \gamma_{ac} \cdot F_{ab} \gamma_{bc} \frac{\partial}{\partial x^2} - \gamma_{ca} \cdot \frac{\partial F_{ab}}{\partial c} \left( \frac{\partial}{\partial x^2} \right) \quad (B.4)$$

$$\left[ d \gamma_{ab} \frac{\partial}{\partial c} \cdot F_{ab} \gamma_{bc} \frac{\partial}{\partial x^2} + \gamma_{ca} \cdot d F_{ab} \frac{\partial}{\partial c} \right] d = X^m_b$$

o navio aliviador

Trocando a por “1” por “2” nas expressões B.1, B.2 e B.3 tem-se, para

$$- \gamma_{ac} \frac{\partial \Phi_1}{\partial c} \cdot F_{ab} \gamma_{bc} - \gamma_{ca} \cdot \frac{\partial \Phi_1}{\partial F_{ab}} \gamma_{bc} \quad (B.3)$$

$$\left[ d \gamma_{ab} \frac{\partial}{\partial c} \cdot F_{ab} \gamma_{bc} + \gamma_{ac} \frac{\partial \Phi_1}{\partial c} \cdot d F_{ab} \frac{\partial}{\partial c} \right] d = Z^m_a$$

e portanto

$$\left[ d \gamma_{ab} \frac{\partial}{\partial c} \cdot F_{ab} \gamma_{bc} + \gamma_{ac} \frac{\partial \Phi_1}{\partial c} \cdot d F_{ab} \frac{\partial}{\partial c} \right] d = \frac{\partial \Phi_1}{\partial \gamma_{ab}} (\gamma_{ca} \cdot F_{ab} \gamma_{bc}) = d$$

Para o segundo termo:

$$\begin{aligned} & \left[ d \gamma_{ab} \frac{\partial \Phi_1}{\partial c} \cdot F_{ab} \gamma_{bc} + \gamma_{ac} \frac{\partial \Phi_1}{\partial c} \cdot d F_{ab} \frac{\partial}{\partial c} \right] d = \\ & \left( \frac{d \Phi_1}{d \gamma_{ab}} \right) d = \left[ d \gamma_{ab} \frac{\partial \Phi_1}{\partial c} \cdot F_{ab} \gamma_{bc} \right] d \end{aligned}$$

Derivando em relação ao tempo:

$$0 = \frac{\partial \Phi_1}{\partial t} \quad \text{e} \quad \frac{\partial \Phi_1}{\partial F_{ab}} = 0$$

português

$$\left[ d \gamma_{ab} \frac{\partial \Phi_1}{\partial c} \cdot F_{ab} \gamma_{bc} \right] d = \frac{\partial \Phi_1}{\partial \gamma_{ab}} (\gamma_{ca} \cdot F_{ab} \gamma_{bc}) d = \frac{\partial \Phi_1}{\partial \gamma_{ab}} \gamma_{ca}$$

E assim

$$Z^m_a = - \left( \frac{\partial \Phi_1}{\partial \gamma_{ab}} \right) d$$

Fimamente, para a expressão do momento de interação de yau:

$$- \gamma_{ca} \cdot \frac{\partial \Phi_1}{\partial c} \gamma_{bc} \quad (B.2)$$

$$\begin{bmatrix} 0 & 0 & -\zeta_a & 0 & 0 \\ 0 & \left(\eta_a + \frac{d}{A_{22}}\right) & 0 & 0 & 0 \\ 0 & 0 & 0 & 0 & 0 \\ 0 & 0 & 0 & 0 & \left(\eta_a + \frac{d}{A_{11}}\right) \\ 0 & 0 & 0 & 0 & \left(\eta_a + \frac{d}{A_{22}} + \frac{A_{22}}{A_{22}}\right) \end{bmatrix} = \boldsymbol{\chi}_a \quad (B.7)$$

Da definição da matriz  $\boldsymbol{\chi}_a$  no Capítulo 4 vemos:

## B.1.1 Termos Gerais

definidos como "Termos Gerais", e o restante, "Termos Específicos".

Nas duas seguintes seções seguiremos os primeiros termos, que aparecem sempre, serão

- Movimento de Yaw no Aliviador:  $\frac{\partial \Phi_2}{\partial C_B}; \frac{\partial \Phi_2}{\partial C_E}; \frac{\partial \Phi_2}{\partial F_{aB}}$
- Força de Sway no Aliviador:  $\frac{\partial y_2}{\partial C_B}; \frac{\partial y_2}{\partial C_E}; \frac{\partial y_2}{\partial F_{aB}}$
- Força de Surge no Aliviador:  $\frac{\partial \dot{x}_2}{\partial C_B}; \frac{\partial \dot{x}_2}{\partial C_E}; \frac{\partial \dot{x}_2}{\partial F_{aB}}$
- Movimento de Yaw no FPSO:  $\frac{\partial \Phi_1}{\partial C_A}; \frac{\partial \Phi_1}{\partial C_E}; \frac{\partial \Phi_1}{\partial F_{aE}}$
- Força de Sway no FPSO:  $\frac{\partial y_1}{\partial C_A}; \frac{\partial y_1}{\partial C_E}; \frac{\partial y_1}{\partial F_{aE}}$
- Força de Surge no FPSO:  $\frac{\partial \dot{x}_1}{\partial C_A}; \frac{\partial \dot{x}_1}{\partial C_E}; \frac{\partial \dot{x}_1}{\partial F_{aE}}$

fórcas e momentos, a saber:

$C_B, F_{aB}, \frac{dC_B}{dt}, \frac{dF_{aB}}{dt}$  e  $\frac{d\Phi_{aB}}{dt}$ . Outros aparecem apenas uma vez nas expressões de

Nota-se nas expressões acima termos que são comuns a todas elas, como  $\boldsymbol{\chi}_a, \boldsymbol{\chi}_g, C_A$ ,

para o movimento de interação de yaw.

$$-\boldsymbol{\chi}_a C_A \cdot \frac{\partial \Phi_2}{\partial F_{aB}} \boldsymbol{\chi}_g C_B - \boldsymbol{\chi}_a C_A \cdot F_{aB} \boldsymbol{\chi}_g \frac{\partial \Phi_2}{\partial C_B} \quad (B.6)$$

$$\left( \boldsymbol{\chi}_a \frac{dC_A}{dt} \cdot F_{aB} \boldsymbol{\chi}_g \frac{\partial \Phi_2}{\partial C_B} + \boldsymbol{\chi}_a C_A \cdot dF_{aB} \boldsymbol{\chi}_g \frac{d}{dt} \left( \frac{\partial \Phi_2}{\partial C_B} \right) \right) p = Z_g^m$$

para a força de interação de sway;

$$+\boldsymbol{\chi}_a C_A \cdot F_{aB} \boldsymbol{\chi}_g \frac{d}{dt} \left( \frac{\partial y_2}{\partial C_B} \right) - \boldsymbol{\chi}_a C_A \cdot \frac{\partial F_{aB}}{\partial C_B} \boldsymbol{\chi}_g \frac{\partial y_2}{\partial C_B} \quad (B.5)$$

$$Y_g^m = p \left[ \boldsymbol{\chi}_a \frac{dC_A}{dt} \cdot F_{aB} \boldsymbol{\chi}_g \frac{\partial y_2}{\partial C_B} + \boldsymbol{\chi}_a C_A \cdot dF_{aB} \boldsymbol{\chi}_g \frac{\partial y_2}{\partial C_B} \right]$$

para a força de interação de surge;

$$F_{\alpha g} = T^{\alpha}_t G_{\alpha g} T^g$$

De 4.25:

$$(B.9) \quad C_g = \begin{bmatrix} \dot{\phi}_2 \\ 0 \\ 0 \\ 0 \\ -x_1 \sin \phi_1 + y_1 \cos \phi_1 \\ x_1 \cos \phi_1 + y_1 \sin \phi_1 \\ x_2 \cos \phi_2 + y_2 \sin \phi_2 \\ -x_2 \sin \phi_2 + y_2 \cos \phi_1 \end{bmatrix}$$

tem-se

de modo que, a partir da definição do vetor coluna  $C_a$  também do Capítulo 4,

$$\left. \begin{array}{l} \dot{\phi}_2 = r_2 \\ y_2 = u_2 \sin \phi_2 + v_2 \cos \phi_2 \\ x_2 = u_2 \cos \phi_2 - v_2 \sin \phi_2 - U \\ \dot{\phi}_1 = r_1 \\ y_1 = u_1 \sin \phi_1 + v_1 \cos \phi_1 \\ x_1 = u_1 \cos \phi_1 - v_1 \sin \phi_1 - U \end{array} \right\}$$

então:

no sistema referencial local de coordenadas é sendo  $U$  a velocidade da correnteza, se  $u_1, v_1, r_1$  e  $u_2, v_2$  e  $r_2$  são, respectivamente, as velocidades do FPSO e aliviador

$$\dot{V}^a = T^a \dot{u}^a$$

e como

$$T^a = \begin{bmatrix} \cos \phi_1 & \sin \phi_1 & 0 \\ \sin \phi_1 & \cos \phi_1 & 0 \\ 0 & 0 & 1 \end{bmatrix}; \quad T^g = \begin{bmatrix} 0 & 0 & 1 \\ \sin \phi_2 & \cos \phi_2 & 0 \\ \cos \phi_2 & -\sin \phi_2 & 0 \end{bmatrix}$$

E fácil verificar que

$$(B.8) \quad \dot{V}^a = \begin{bmatrix} 0 & 0 & 0 \\ \left( \eta_g + \frac{d}{A_g^{22}} \right) & 0 & 0 \\ 0 & 0 & 0 \end{bmatrix} = \dot{X}^a$$

e, consequentemente:

$$\begin{bmatrix} 0 & 0 & 0 & 0 \\ 0 & \cos \phi_2 & -\sin \phi_2 & 0 \\ 0 & -\sin \phi_2 & \cos \phi_2 & 0 \\ 0 & -\sin \phi_1 & \cos \phi_1 & 0 \end{bmatrix} \frac{dp}{dT^g} = \begin{bmatrix} 0 & 0 & 0 \\ -\cos \phi_1 & -\sin \phi_1 & 0 \\ -\sin \phi_1 & \cos \phi_1 & 0 \end{bmatrix} \frac{dt}{dT^g}$$

onde

$$\frac{dF_{\alpha\beta}}{dT^g} = \frac{dt}{dT^g} G_{\alpha\beta} T^g + T^{\alpha} \frac{dt}{dT^g} G_{\alpha\beta} T^g \quad (\text{B.12})$$

Agora, derivando 4.25 em relação ao tempo:

$$(B.11) \quad \begin{bmatrix} \dot{\phi}_2 \\ 0 \\ 0 \\ 0 \end{bmatrix} = \frac{\partial t}{\partial C^g} = \begin{bmatrix} x_2 \sin \phi_2 - x_2 \dot{\phi}_2 \cos \phi_2 + y_2 \cos \phi_2 - y_2 \dot{\phi}_2 \sin \phi_2 \\ x_2 \cos \phi_2 - x_2 \dot{\phi}_2 \sin \phi_2 + y_2 \sin \phi_2 + y_2 \dot{\phi}_2 \cos \phi_2 \end{bmatrix}$$

$$(B.10) \quad \begin{bmatrix} \dot{\phi}_1 \\ 0 \\ 0 \\ 0 \end{bmatrix} = \frac{\partial t}{\partial C^a} = \begin{bmatrix} -x_1 \sin \phi_1 - x_1 \dot{\phi}_1 \cos \phi_1 + y_1 \cos \phi_1 - y_1 \dot{\phi}_1 \sin \phi_1 \\ x_1 \cos \phi_1 - x_1 \dot{\phi}_1 \sin \phi_1 + y_1 \sin \phi_1 + y_1 \dot{\phi}_1 \cos \phi_1 \end{bmatrix}$$

Derivando B.9 em relação ao tempo:

$$G_{\alpha\beta} = \frac{4\pi}{I} \left( \begin{bmatrix} 0 & 0 & 0 & 0 \\ 0 & \frac{[(x_2-x_1)^2+(y_2-y_1)^2]3/2}{(x_2-x_1)(y_2-y_1)} & \frac{[(x_2-x_1)^2+(y_2-y_1)^2]5/2}{(x_2-x_1)(y_2-y_1)} & \frac{[(x_2-x_1)^2+(y_2-y_1)^2]5/2}{(x_2-x_1)(y_2-y_1)} \\ 0 & 0 & \frac{[(x_2-x_1)^2+(y_2-y_1)^2]3/2}{(x_2-x_1)(y_2-y_1)} & 0 \\ 0 & 0 & 0 & \frac{[(x_2-x_1)^2+(y_2-y_1)^2]3/2}{(x_2-x_1)(y_2-y_1)} \\ 0 & 0 & 0 & 0 \end{bmatrix} - 3 \begin{bmatrix} 0 & 0 & 0 & 0 \\ \frac{[(x_2-x_1)^2+(y_2-y_1)^2]3/2}{(x_2-x_1)(y_2-y_1)} & 0 & 0 & 0 \\ 0 & 0 & \frac{[(x_2-x_1)^2+(y_2-y_1)^2]3/2}{(x_2-x_1)(y_2-y_1)} & 0 \\ 0 & 0 & 0 & \frac{[(x_2-x_1)^2+(y_2-y_1)^2]3/2}{(x_2-x_1)(y_2-y_1)} \end{bmatrix} \right)$$

onde (segundo 4.24):

$$\frac{\partial F_{\alpha\beta}}{\partial G_{\alpha\beta}} = \frac{\partial x_1}{\partial G_{\alpha\beta}} T_\alpha^g T_\beta^g \quad (\text{B.14})$$

E, de A.25:

$$\begin{bmatrix} 0 \\ 0 \\ 0 \\ 0 \\ -\phi_1 \cos \phi_1 \\ \cos \phi_1 \\ -\phi_1 \sin \phi_1 \end{bmatrix} = \left( \frac{\partial x_1}{\partial c^\alpha} \right) \frac{dt}{d} \quad \Leftarrow \quad \begin{bmatrix} 0 \\ 0 \\ 0 \\ 0 \\ -\sin \phi_1 \\ \cos \phi_1 \end{bmatrix} = \frac{\partial x_1}{\partial c^\alpha} \quad (\text{B.13})$$

Derivando B.9 em relação ao tempo vemos:

Forge de Interagão de Surge no FPSO

### B.1.2 Termos Específicos

- $x_1^2 + (y_2 - y_1)^2 (y_2 - y_1) \{ \}$
- $\bullet q_{22} = -(y_2 - y_1) \{ 5(x_2 - x_1)(y_2 - y_1) + 5(y_2 - y_1)^2 - 2(x_2 - x_1)^2 + (y_2 - y_1)^2 \} (y_2 - y_1) \{ \}$
- $\bullet q_{12} = (-1) \{ 5(x_2 - x_1)^2 - [x_2 - x_1]^2 + (y_2 - y_1)^2 (x_2 - x_1) + 5(y_2 - y_1)^2 - x_1(y_2 - y_1)(y_2 - y_1) \} (y_2 - y_1) \{ \}$
- $\bullet q_{11} = -(x_2 - x_1) \{ 5(x_2 - x_1)^2 - 2[x_2 - x_1]^2 + (y_2 - y_1)^2 (x_2 - x_1) + 5(x_2 - x_1)^2 - (y_2 - y_1)^2 \} (y_2 - y_1) \{ \}$
- $\bullet a_{11} = a_{22} = a_{33} = (x_2 - x_1)(y_2 - y_1) + (y_2 - y_1)(y_2 - y_1)$

com

$$+ \frac{(x_2 - x_1)^2 + (y_2 - y_1)^2}{1} + \frac{4\pi[(x_2 - x_1)^2 + (y_2 - y_1)^2]^{5/2}}{3} = \frac{dt}{dG_{\alpha\beta}}$$

$$+ \left[ \begin{bmatrix} 0 & 0 & 0 \\ 0 & q_{22} & 0 \\ q_{11} & q_{12} & 0 \end{bmatrix} \right] a_{33} \quad \left[ \begin{bmatrix} 0 & 0 & a_{33} \\ 0 & a_{22} & 0 \\ a_{11} & 0 & 0 \end{bmatrix} \right]$$

e

$$-\left[ \begin{array}{ccc} 0 & 0 & 0 \\ 0 & 0 & 0 \\ 0 & 0 & 0 \end{array} \right] \right) \frac{dy_1}{dG_{\alpha\beta}} = \frac{4\pi[(x_2 - x_1)^2 + (y_2 - y_1)^2]^{5/2}}{3}$$

onde

$$\theta F_{\alpha\beta} = T_{\alpha}^{\sigma} \frac{\partial y_1}{\partial G_{\alpha\beta}} T_{\sigma}^{\beta} \quad (B.16)$$

e

$$\left[ \begin{array}{c} 0 \\ 0 \\ 0 \\ 0 \\ -\phi_1 \sin \phi_1 \\ \phi_1 \cos \phi_1 \end{array} \right] = \left( \frac{\partial y_1}{\partial C^{\alpha}} \right) \frac{dc^{\alpha}}{dt} \Leftrightarrow \left[ \begin{array}{c} 0 \\ 0 \\ 0 \\ 0 \\ \cos \phi_1 \\ \sin \phi_1 \end{array} \right] = \frac{\partial y_1}{\partial C^{\alpha}}$$
(B.15)

que aparecem na equação da forma de sway são:

Analogamente ao que foi feito na seção anterior para a forma de sway, os termos

### Forma de Interagão de Sway no FPSO

- $d_{22} = 5(x_2 - x_1)(y_2 - y_1)^2$
- $d_{12} = (y_2 - y_1)\{5(x_2 - x_1)^2 - [(x_2 - x_1)^2 + (y_2 - y_1)^2]\}$
- $d_{11} = (x_2 - x_1)\{5(x_2 - x_1)^2 - 2[(x_2 - x_1)^2 + (y_2 - y_1)^2]\}$
- $c_{11} = c_{22} = c_{33} = (x_2 - x_1)$

com

$$-\left[ \begin{array}{ccc} 0 & 0 & 0 \\ d_{11} & d_{12} & 0 \\ 0 & 0 & 0 \end{array} \right] \frac{1}{(x_2 - x_1)^2 + (y_2 - y_1)^2} \frac{(x_2 - x_1)^2 + (y_2 - y_1)^2}{d_{12} \ d_{22} \ 0} = \frac{4\pi[(x_2 - x_1)^2 + (y_2 - y_1)^2]^{5/2}}{3}$$

onde

Lembrando que  $C_{ab}$  só depende de  $\tilde{R}^{ab}$ .

$$, \begin{bmatrix} 0 & 0 & 0 \\ 0 & \cos \phi_1 & -\sin \phi_1 \\ 0 & \sin \phi_1 & \cos \phi_1 \end{bmatrix} = \begin{bmatrix} 0 \\ -\cos \phi_1 \\ -\sin \phi_1 \end{bmatrix} = \frac{\partial \phi_1}{\partial T^a}$$

onde

$$\frac{\partial F^{ab}}{\partial T^a} = \frac{\partial \phi_1}{\partial T^a} C_{ab} T^b \quad (B.19)$$

De 4.25:

$$\begin{bmatrix} 1 \\ 0 \\ 0 \\ -x_1 \cos \phi_1 - y_1 \sin \phi_1 \\ -x_1 \sin \phi_1 + y_1 \cos \phi_1 \end{bmatrix} = \frac{\partial \phi_1}{\partial C^a} \quad (B.18)$$

e

$$\begin{bmatrix} 0 \\ 0 \\ 0 \\ 0 \\ 0 \end{bmatrix} = \left( \frac{\partial \phi_1}{\partial C^a} \right) \frac{dt}{d} \Leftrightarrow \begin{bmatrix} 1 \\ 0 \\ 0 \\ 0 \\ 0 \end{bmatrix} = \frac{\partial \phi_1}{\partial C^a} \quad (B.17)$$

yau para o FPSO são definidos pelas seguintes expressões: a partir de B.9 vemos:

Finalmente, os termos que aparecem na expressão do momento de interação de

### Momento de Interagão de Yau no FPSO

$$\bullet f_{22} = (y_2 - y_1) \{ 5(y_2 - y_1)^2 - 2[(x_2 - x_1)^2 + (y_2 - y_1)^2] \}$$

$$\bullet f_{12} = (x_2 - x_1) \{ 5(y_2 - y_1)^2 - [(x_2 - x_1)^2 + (y_2 - y_1)^2] \}$$

$$\bullet f_{11} = 5(x_2 - x_1)^2 (y_2 - y_1)$$

$$\bullet e_{11} = e_{22} = e_{33} = (y_2 - y_1)$$

com

$$\begin{bmatrix} 0 & 0 & 0 \\ 0 & d_{22} & 0 \\ f_{11} & f_{12} & 0 \end{bmatrix} \frac{(x_2 - x_1)^2 + (y_2 - y_1)^2}{1} -$$